

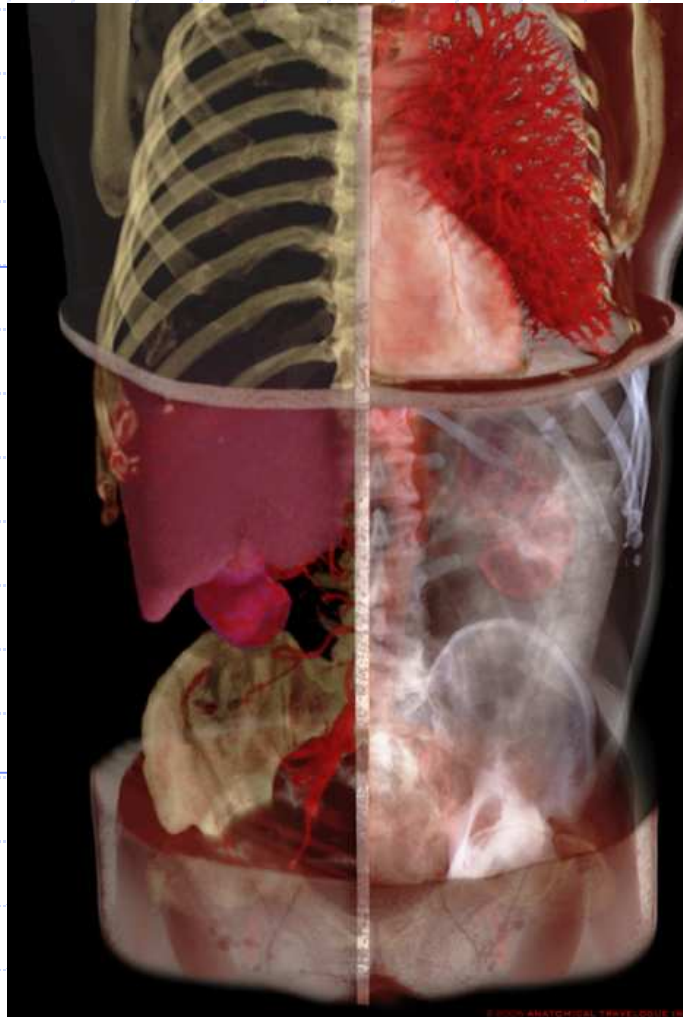
IMAGERIE MEDICALE

Denis MARIANO GOULART
Faculté de Médecine de Montpellier
Service de médecine nucléaire. CHU Montpellier.
d-mariano_goulart@chu-montpellier.fr

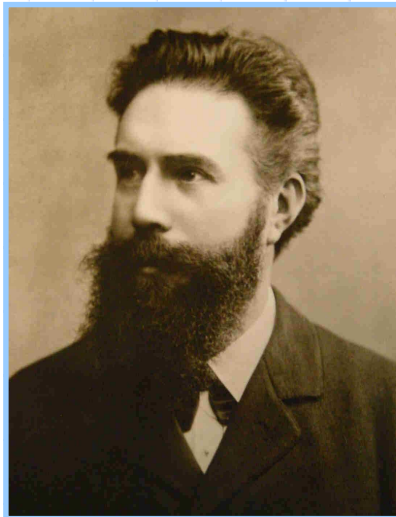
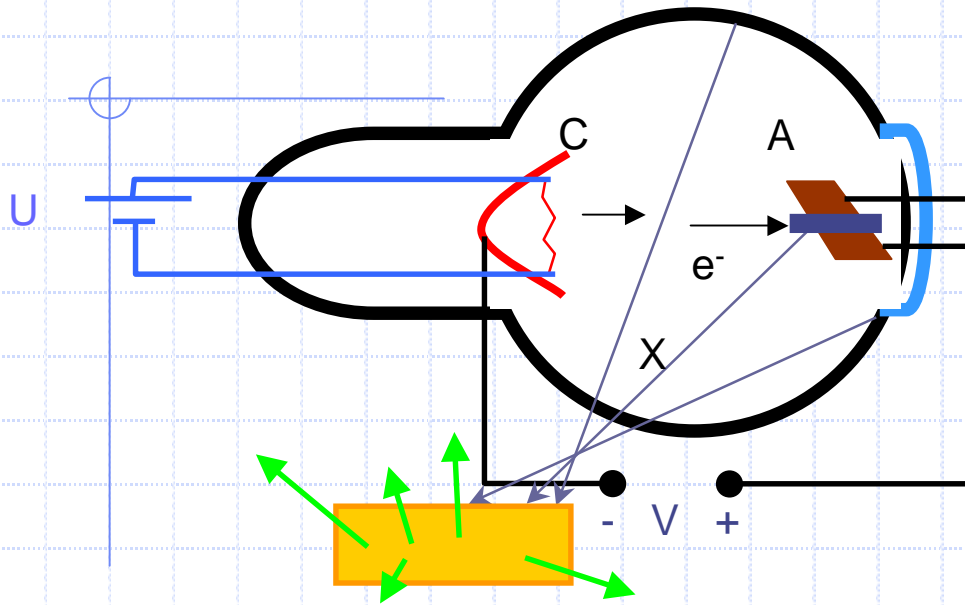
Plan général

- ◆ Les modalités de l'imagerie médicale
- ◆ Reconstruction tomographique 2D et 3D
- ◆ Traitement et analyse multimodal
- ◆ Visualisation volumique

Les modalités d'imagerie

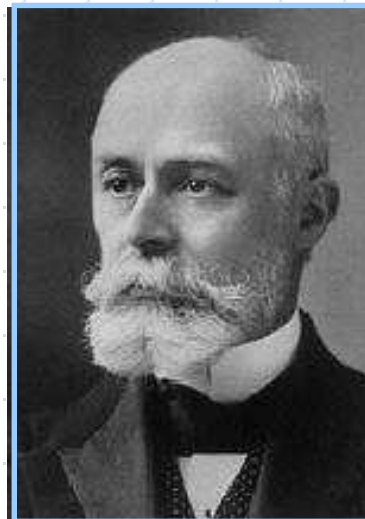
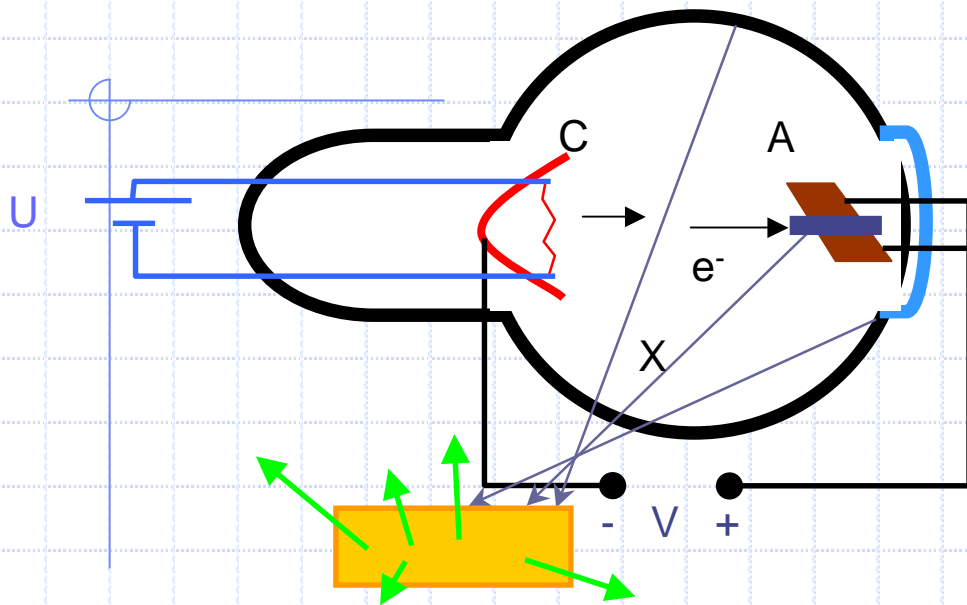


Rayons X, rayons γ ...

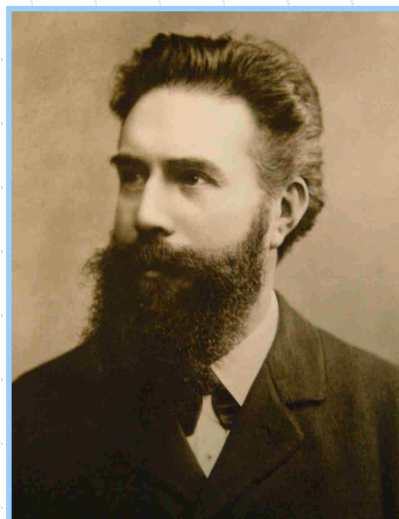
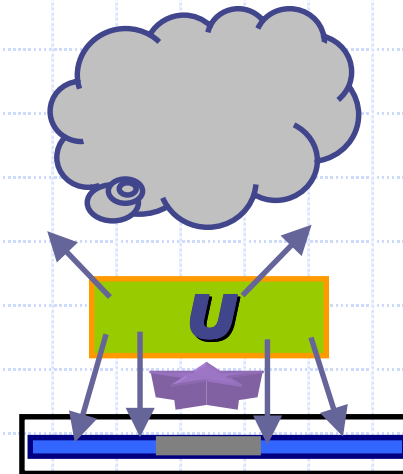


Röntgen 1895

Rayons X, rayons γ ...

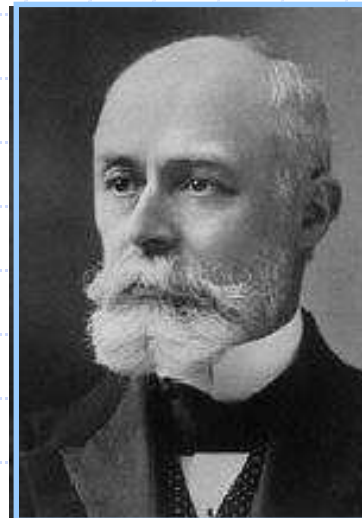
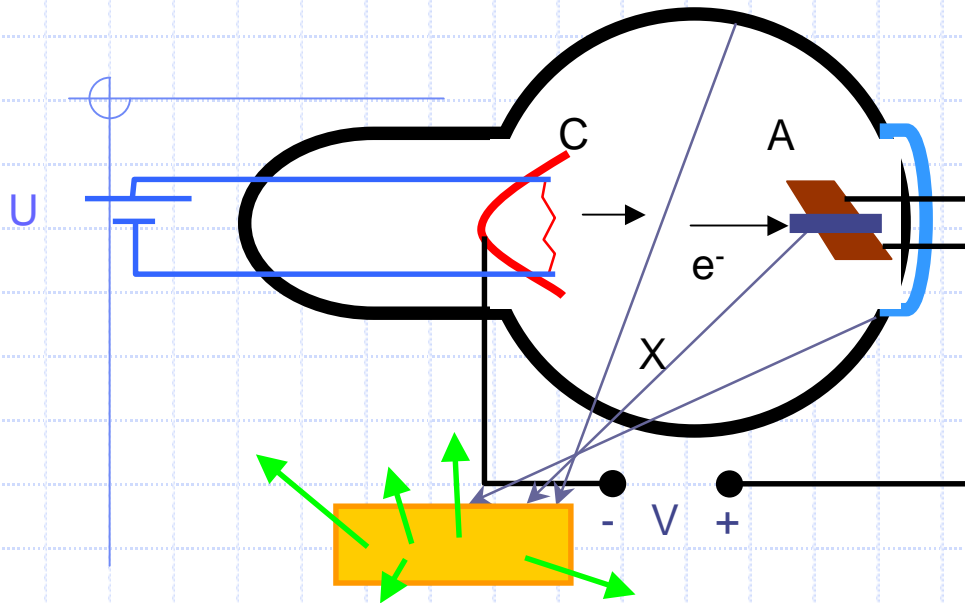


Becquerel 1896

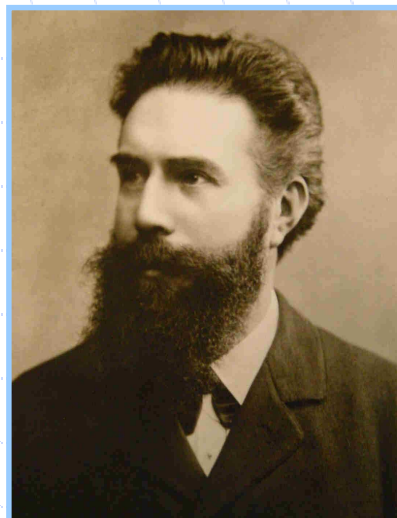
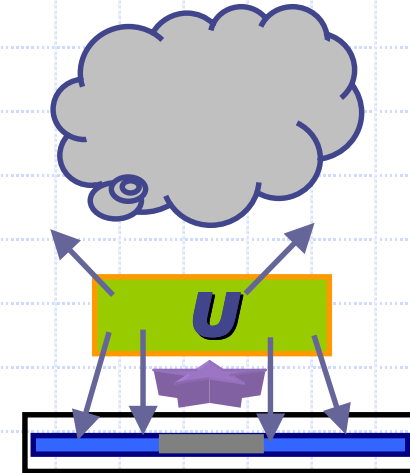


Röntgen 1895

Rayons X, rayons γ ...



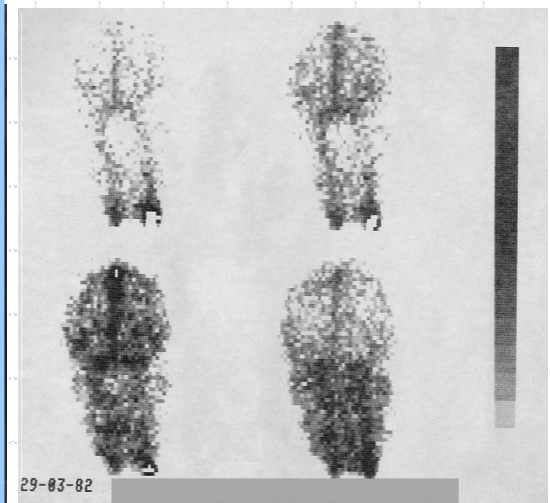
Becquerel 1896



Röntgen 1895



Curie 1934



29-83-82

Modalites d'imagerie

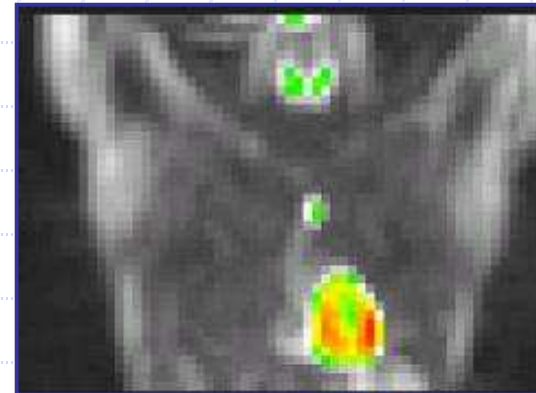
◆ Imagerie de transmission

- Radiologie X



◆ Imagerie d'émission

- Scintigraphie γ
- TEP
- IRM



◆ Imagerie de réflexion

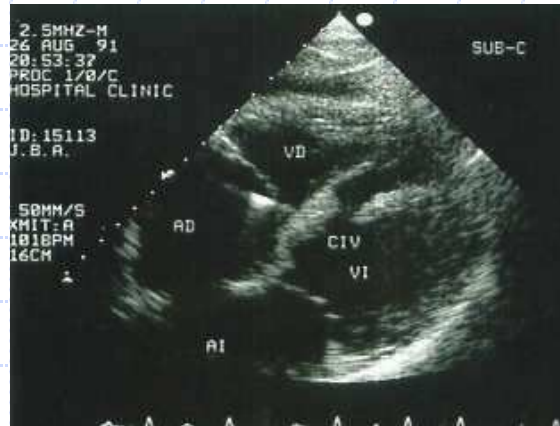
- Echographie



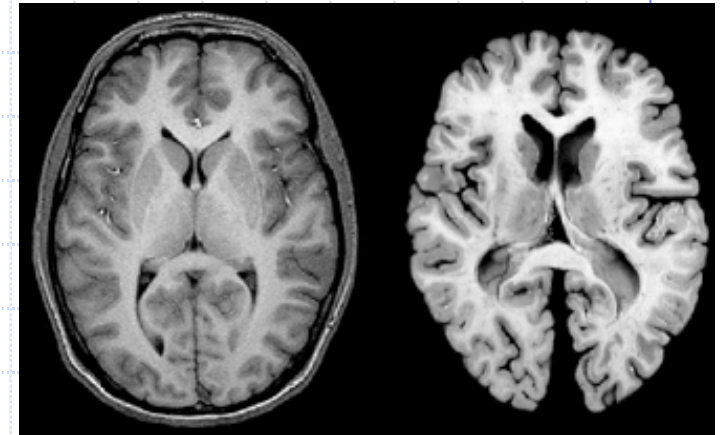
Imagerie anatomique



Radiographie



Echographie



IRM

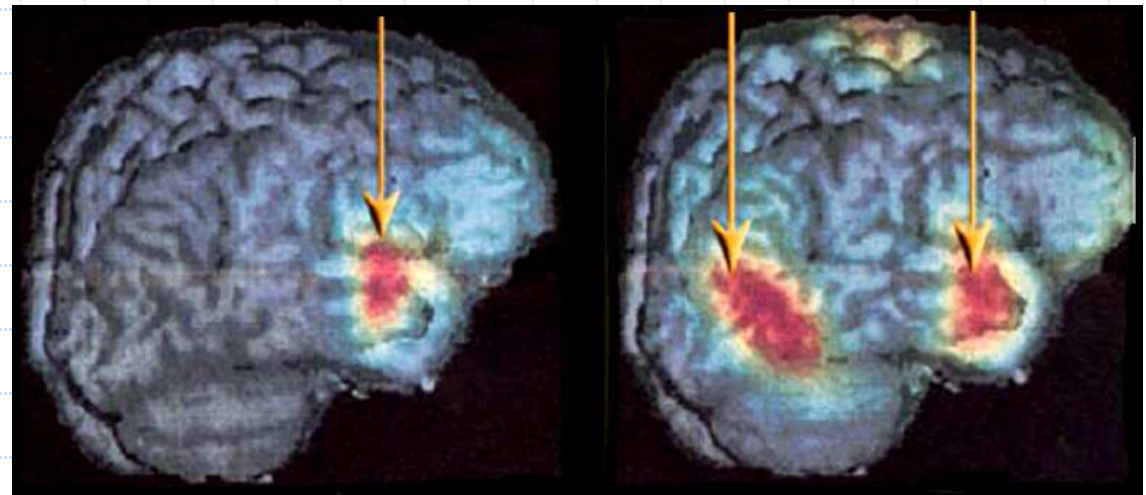
Post
mortem

Imagerie fonctionnelle



Cortex
auditif

Cortex
visuel



Sujet normal

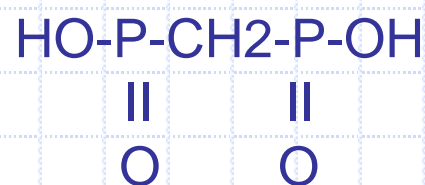
Aveugle de naissance

Imagerie métabolique moléculaire

VECTEUR



MARQUEUR

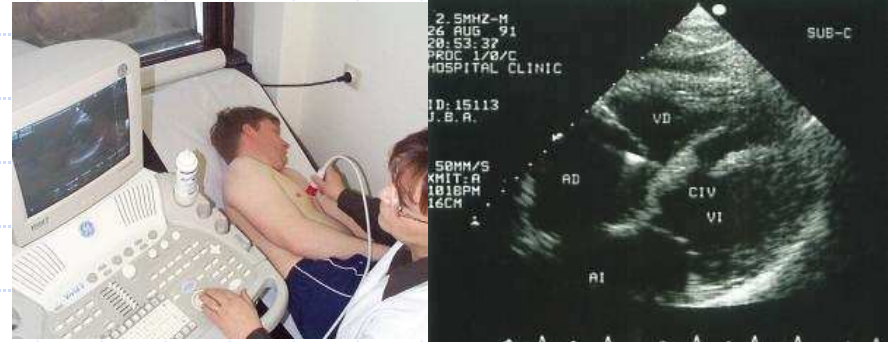


TRACEUR RADIOACTIF



Les techniques radiologiques

◆ Echographie



◆ IRM



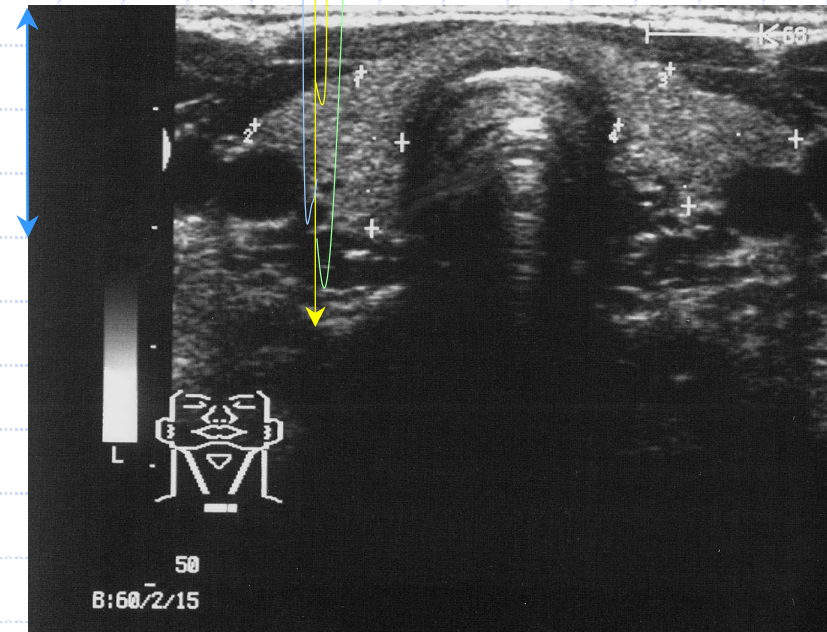
◆ Radiographie



Echographie

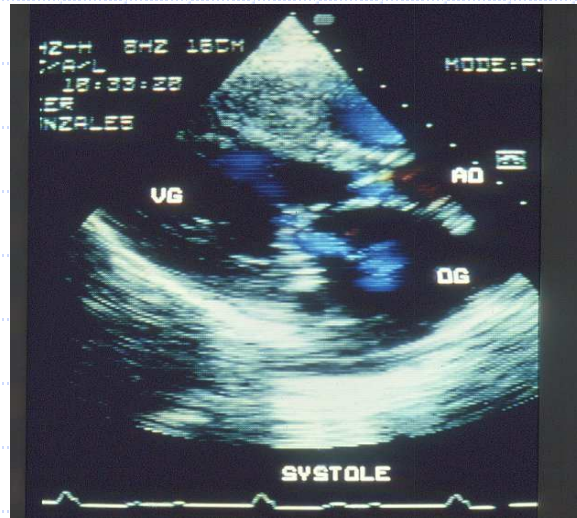


US

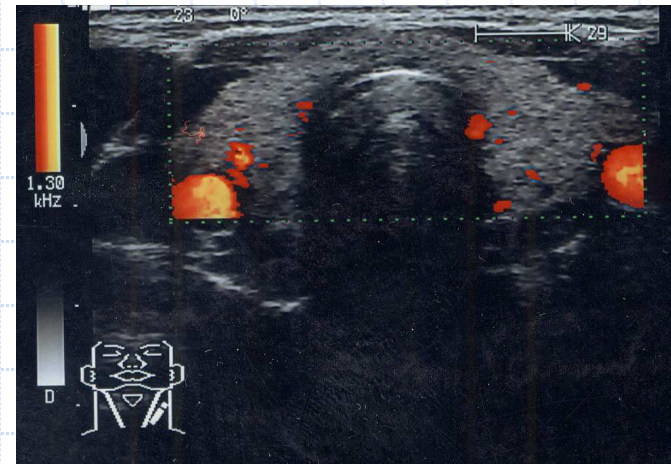


$$Z = \rho c$$

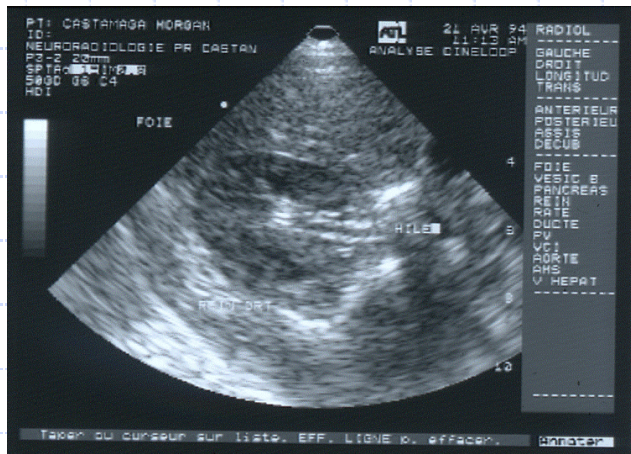
Echographie : applications



Cœur



Thyroïde

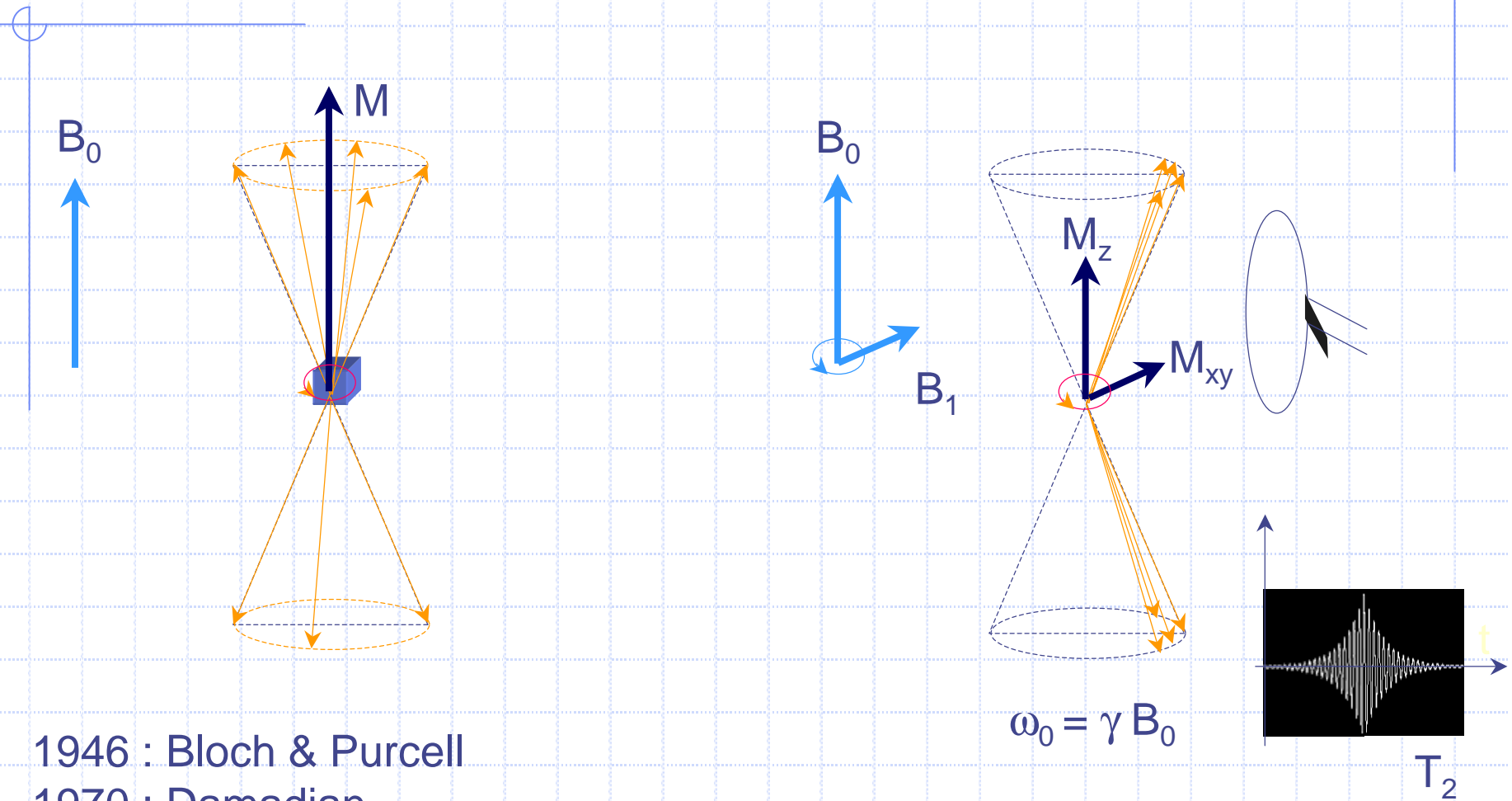


Rein



Foetus

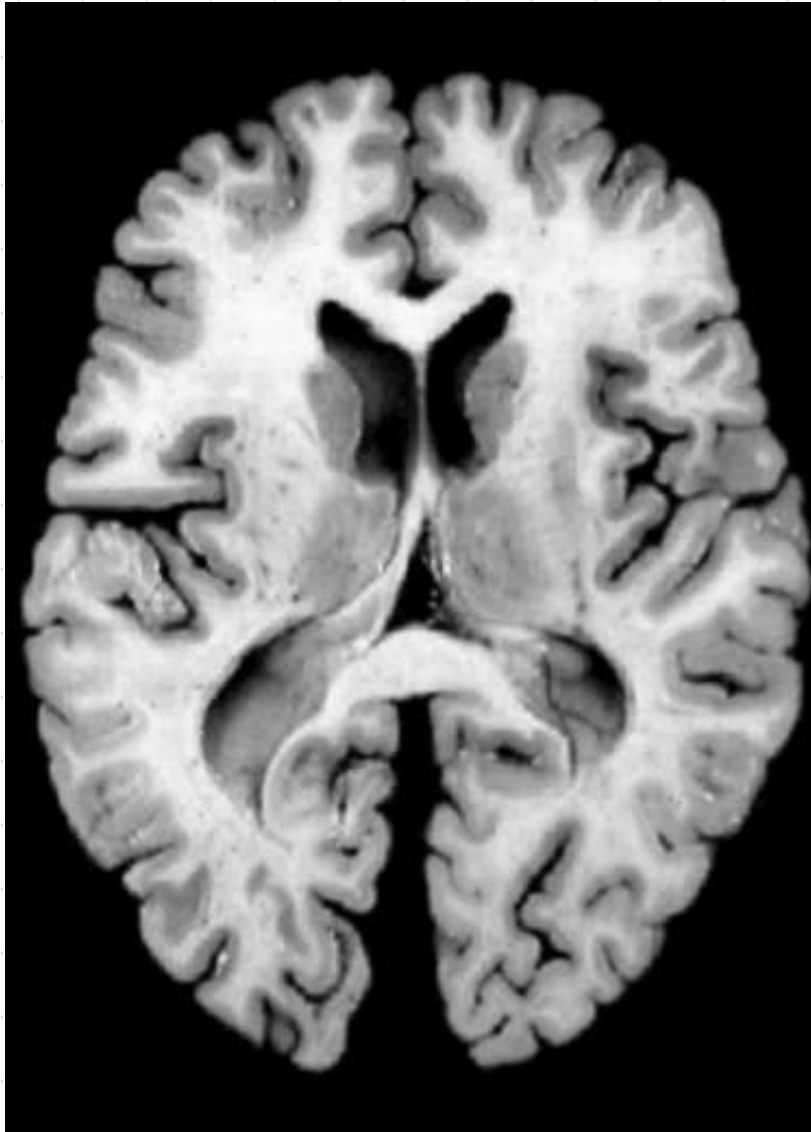
Imagerie par résonance magnétique nucléaire



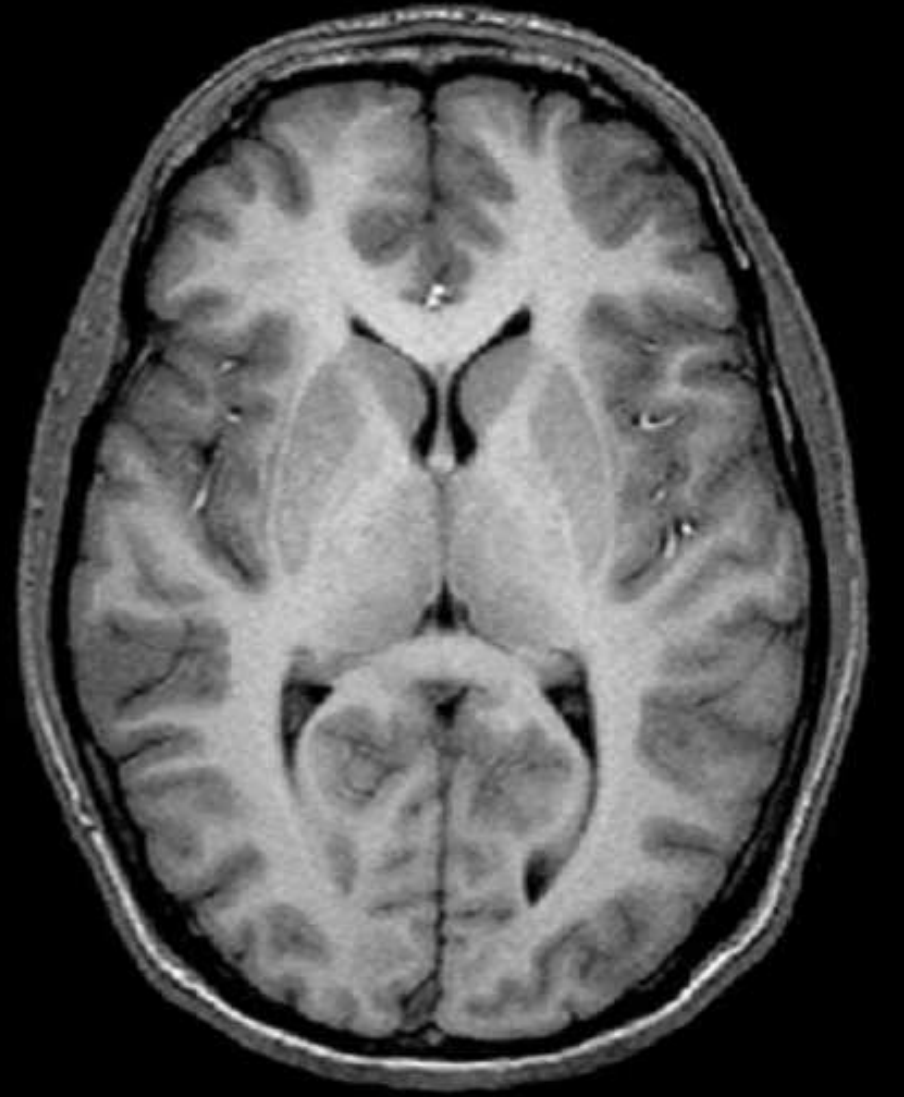
1946 : Bloch & Purcell

1970 : Damadian

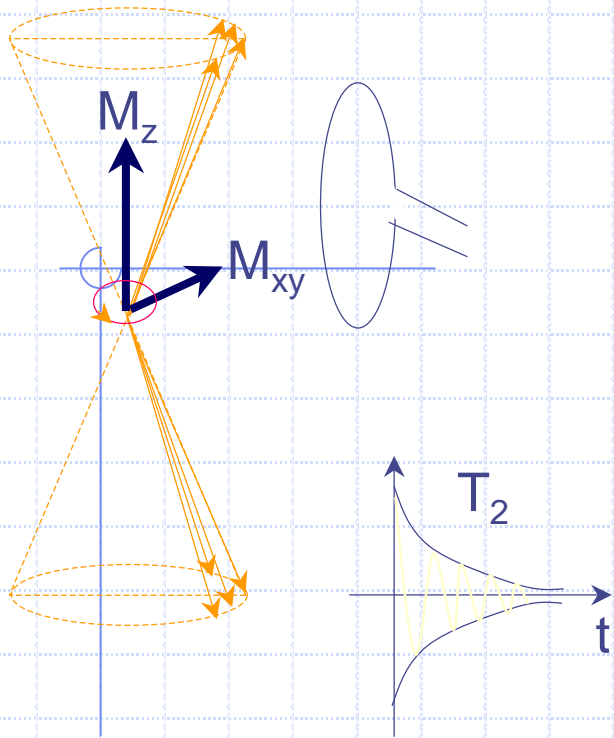
1973 : Lanterbur & Mansfield



post mortem



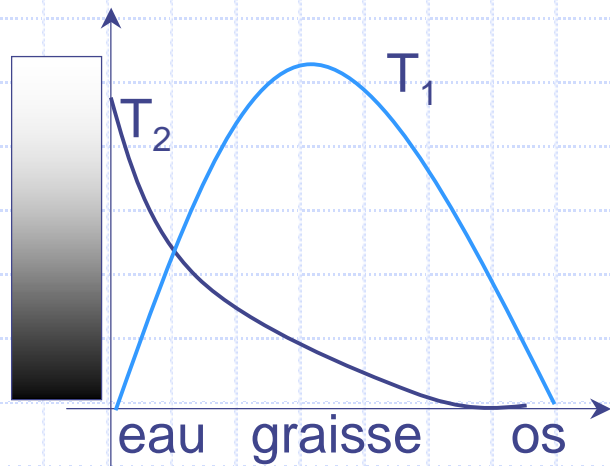
in vivo



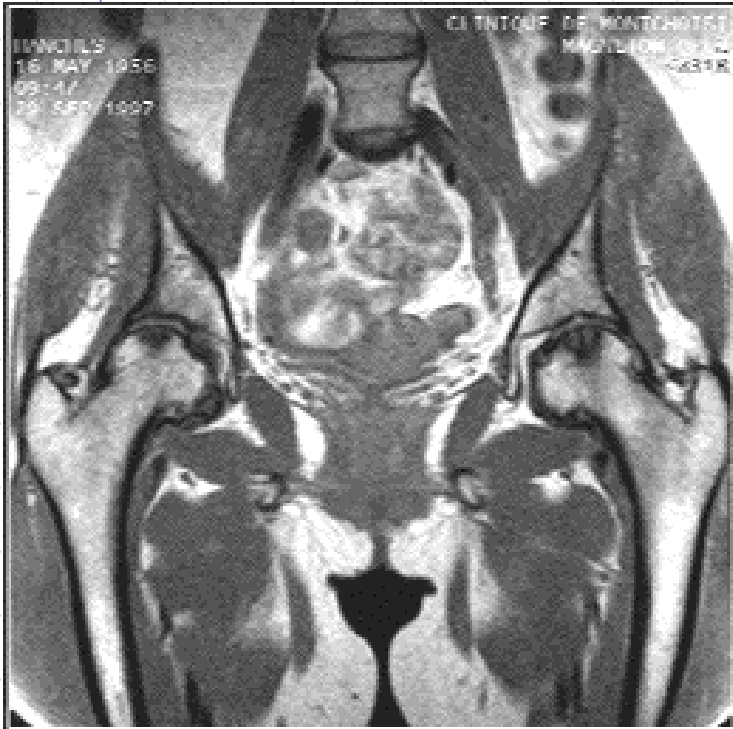
T1



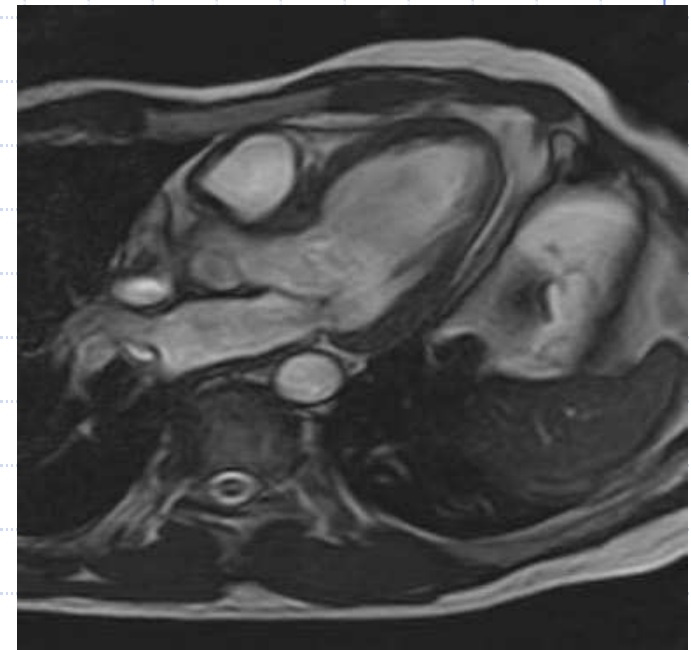
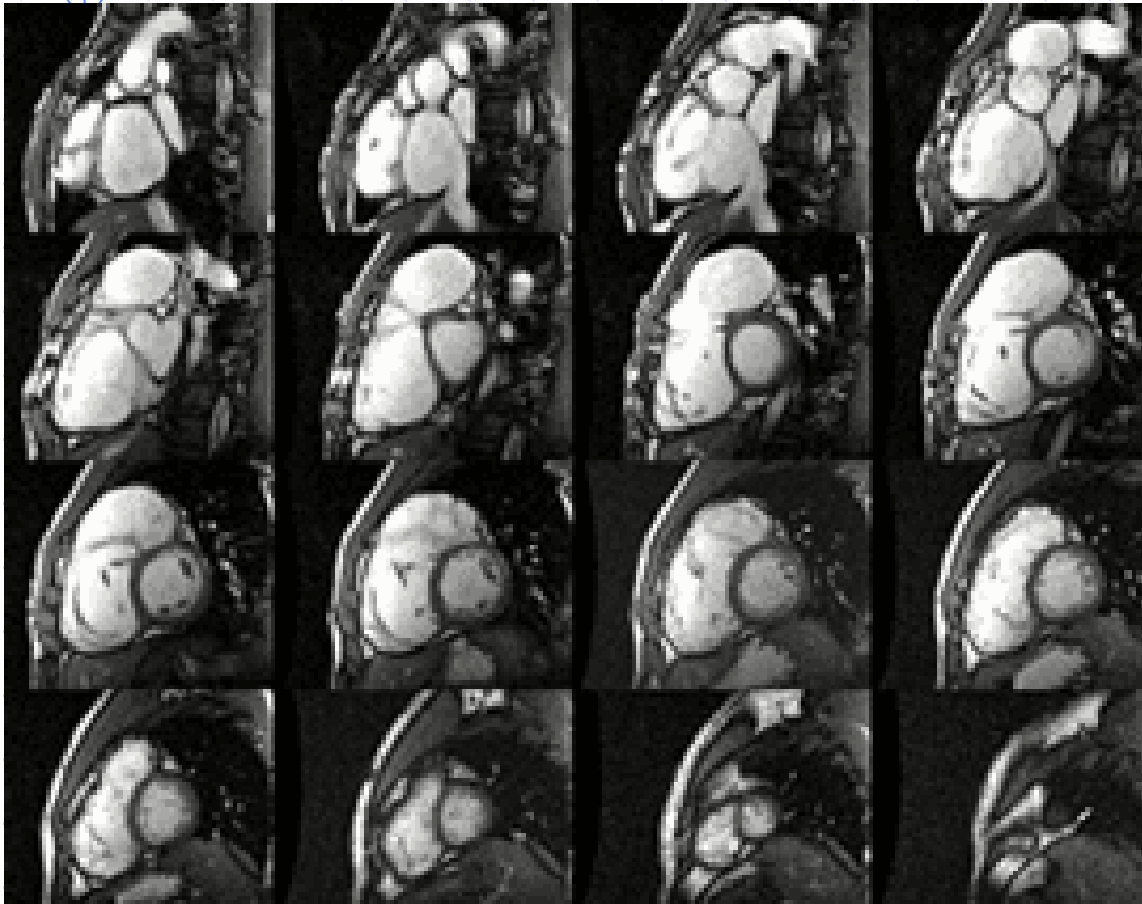
T2



Imagerie par résonance magnétique nucléaire

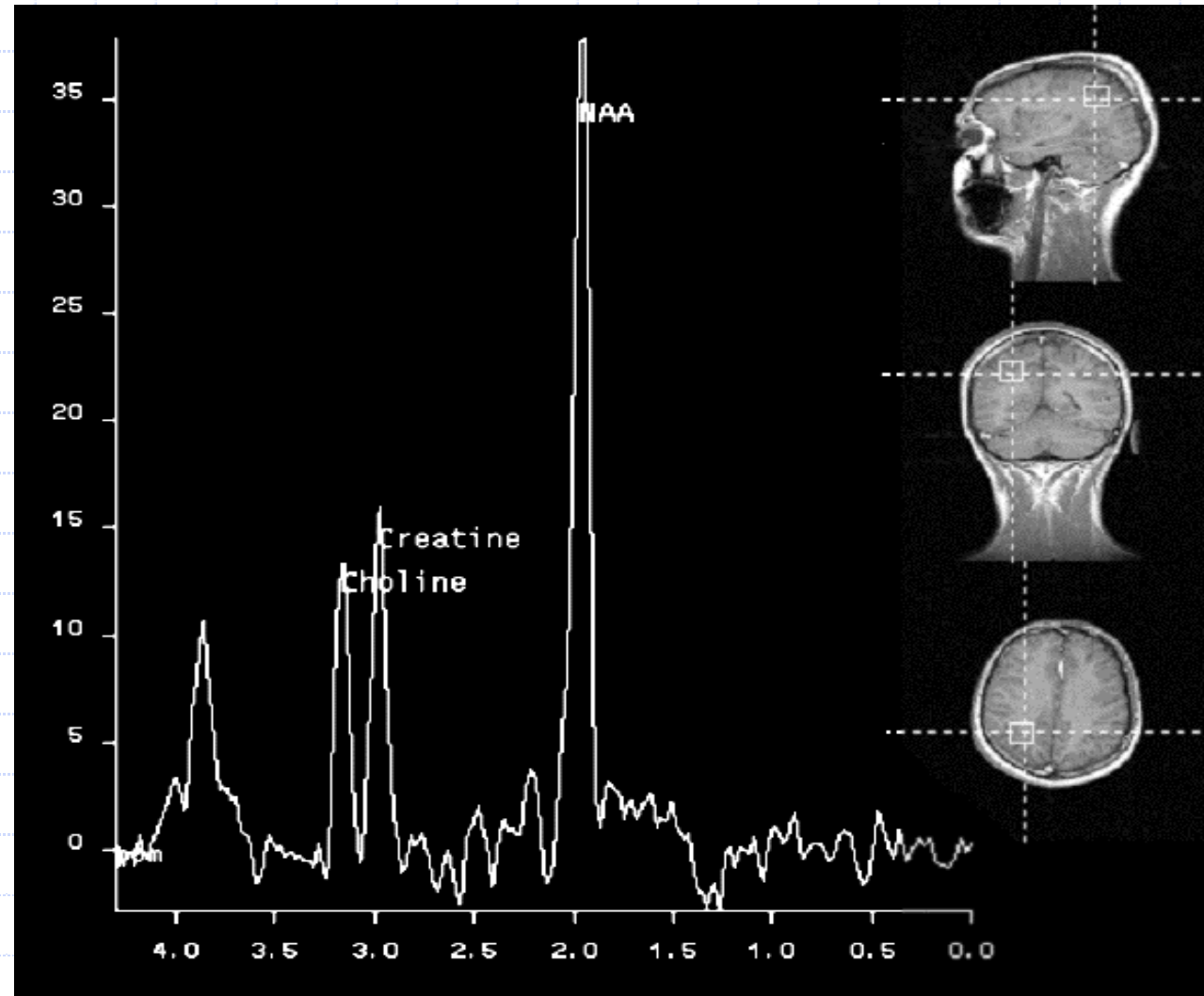
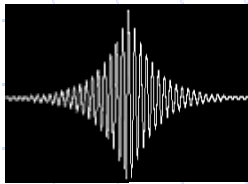


Imagerie par résonance magnétique nucléaire

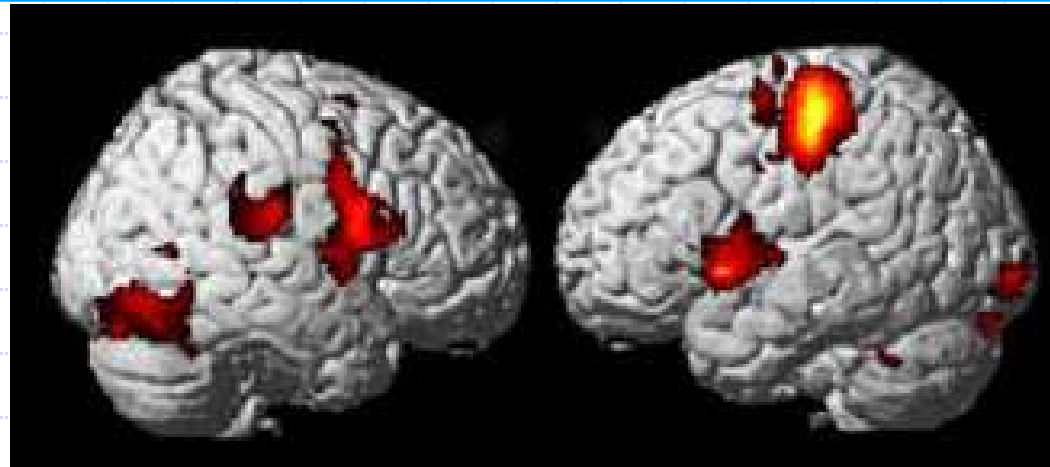


Spectrométrie RMN

Spectre
du ^1H



IRM FONCTIONNELLE



Exécution
de
mouvements de
la main droite

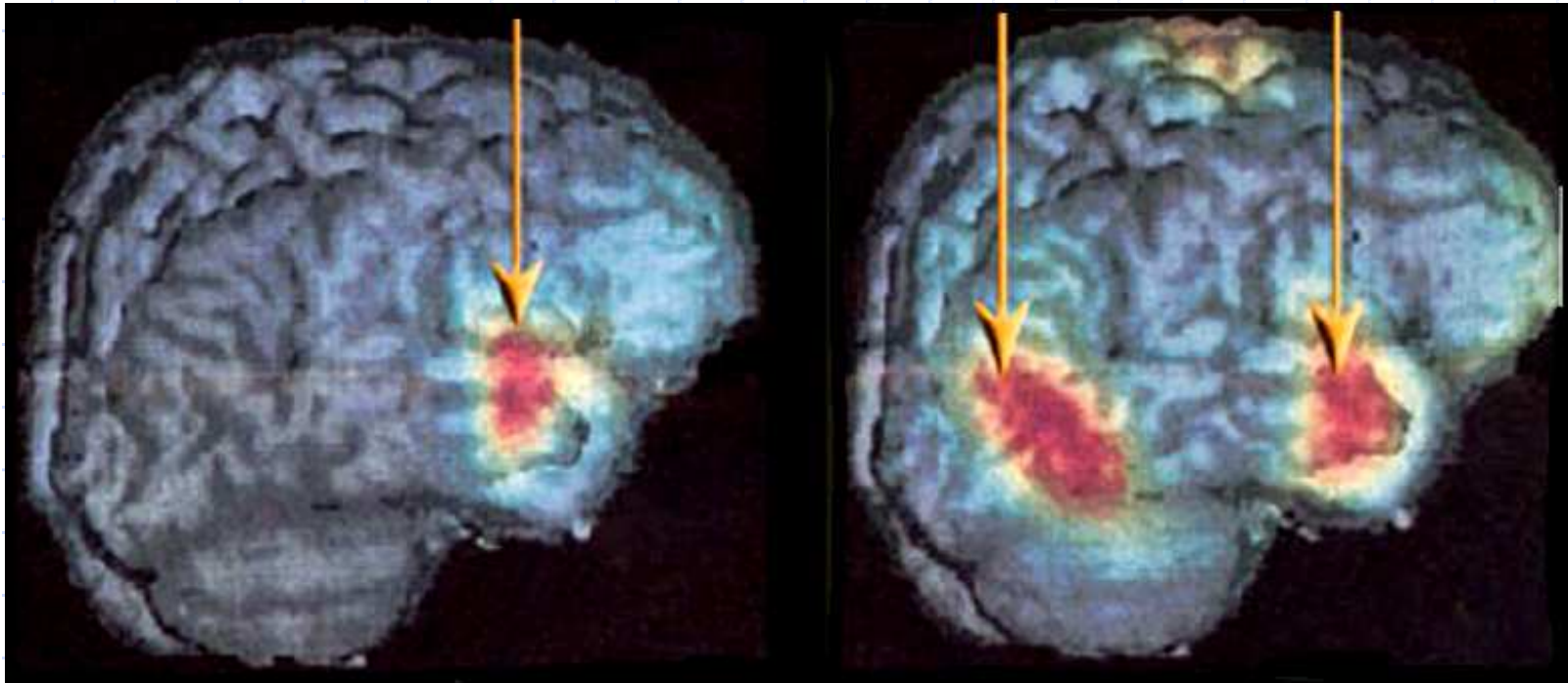


Observation
de ces
mouvements

IRM FONCTIONNELLE

Cortex auditif

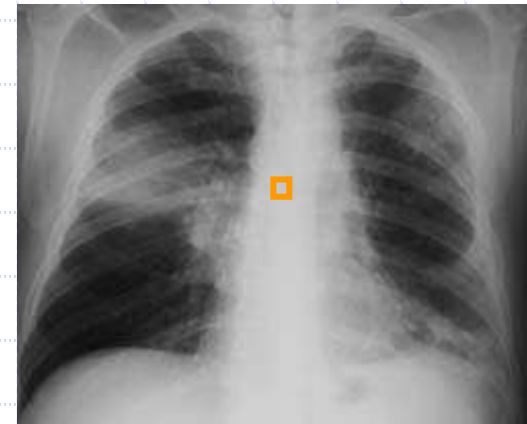
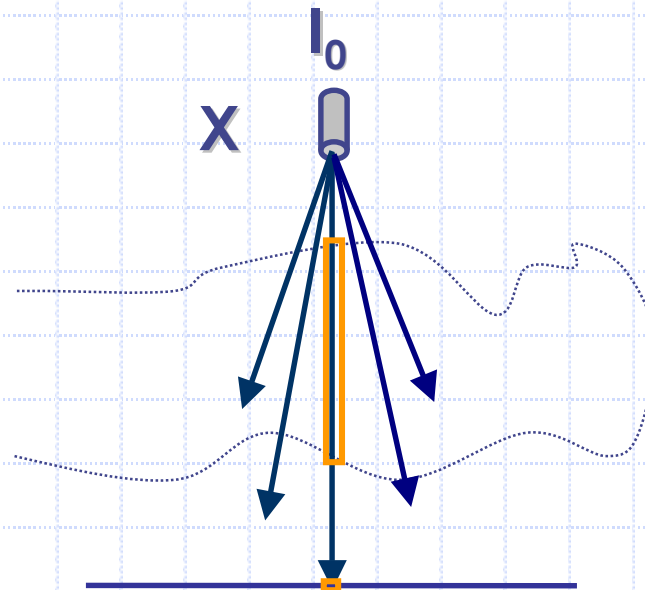
Cortex visuel



Sujet contrôle

Aveugle de naissance

Radiographie

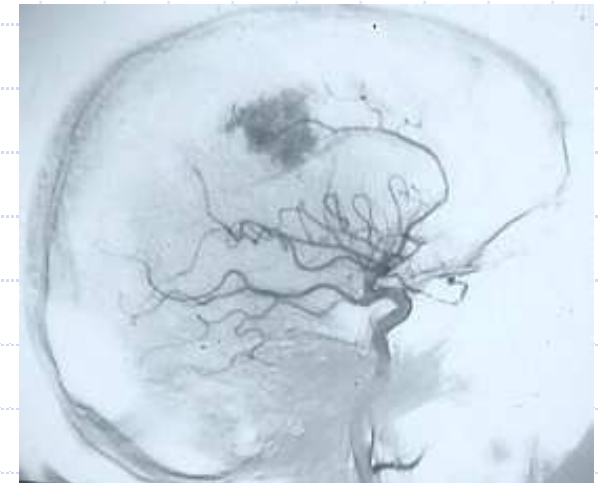
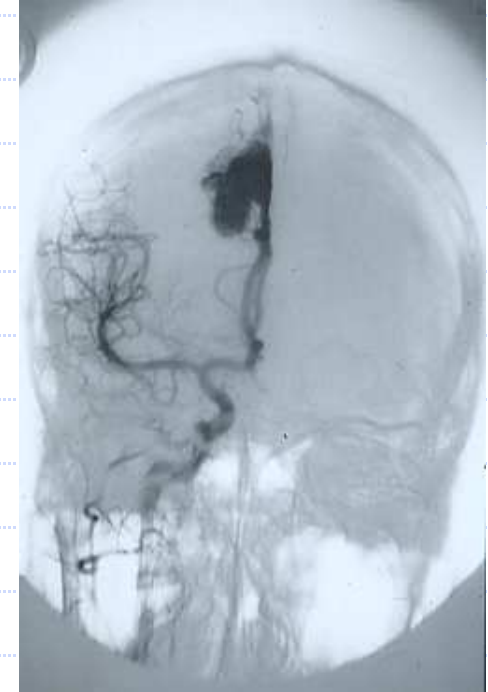
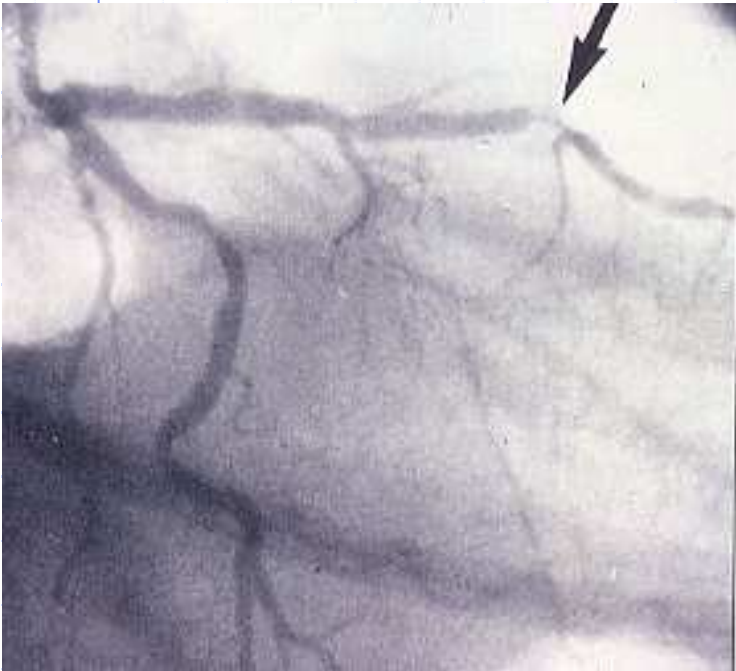


$$I = I_0 e^{-\sum \mu_i x_i}$$

$$\mu_{PE} = -\frac{dI}{I dx} \approx k \frac{Z^3}{E^3} \rho$$

$$x_i = x \Rightarrow p = -\frac{1}{x} \ln \left(\frac{I}{I_0} \right) = \sum \mu_i$$

Radiographie

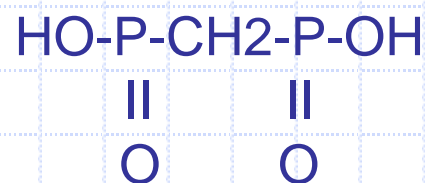


Médecine nucléaire: principes

VECTEUR



MARQUEUR



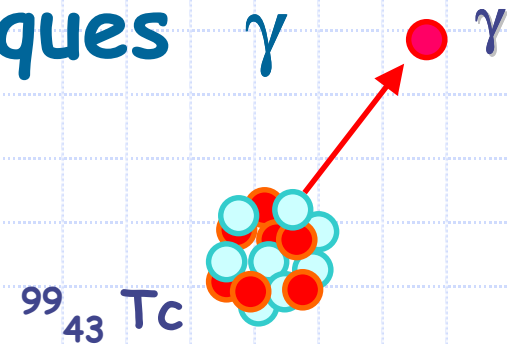
TRACEUR RADIOACTIF



Médecine nucléaire: marqueurs

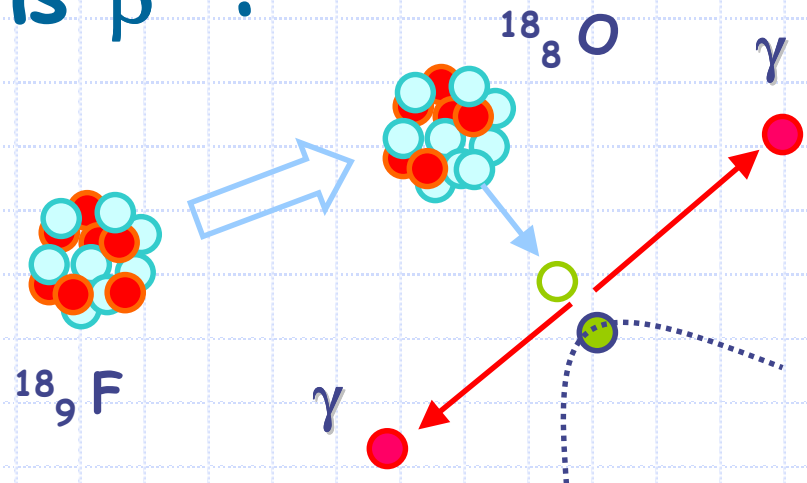
- Emetteurs de photons uniques γ

- Tc, (Xe, Kr, Ga, Tl, In ...)



- Emetteurs de positons β^+ :

- F, (C, N, O, ...)



Fabrication des isotopes

Séparation des produits de fission : ^{99}Tc , ^{131}I , ^{133}Xe

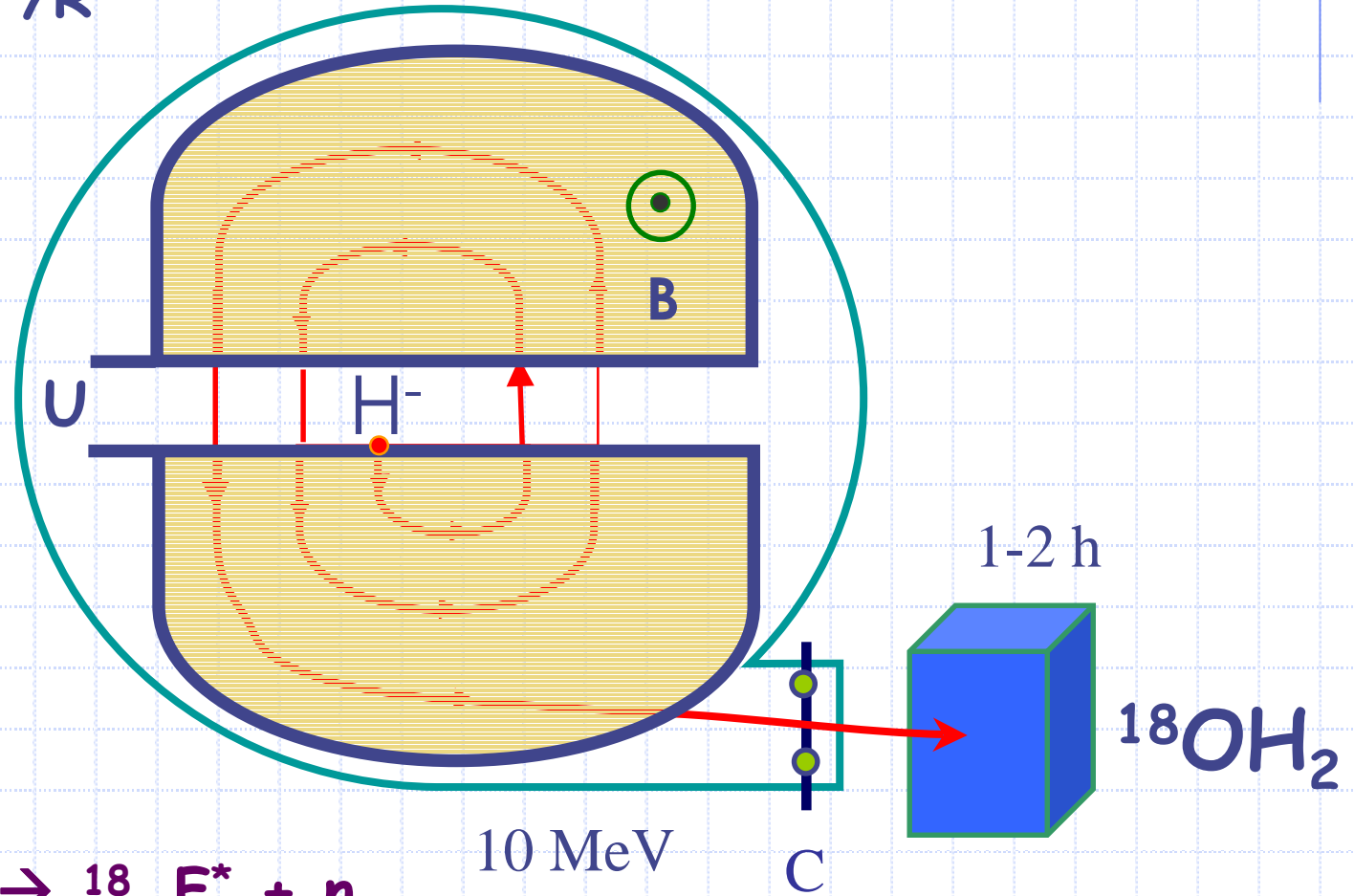


Bombardement particulaire : ^{18}F , ^{201}Tl , ^{123}I , ^{111}In , ^{67}Ga

CYCLOTRON : Exemple du $^{18}_9\text{F}$

Le cyclotron (E Lawrence 1930)

$$evB = mv^2/R$$



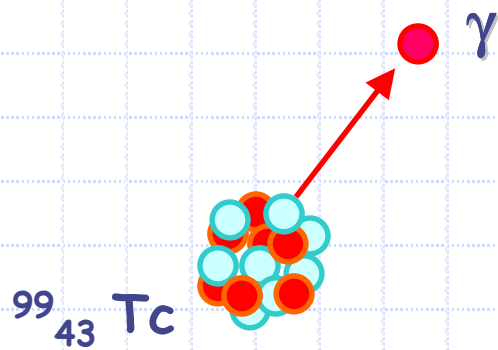
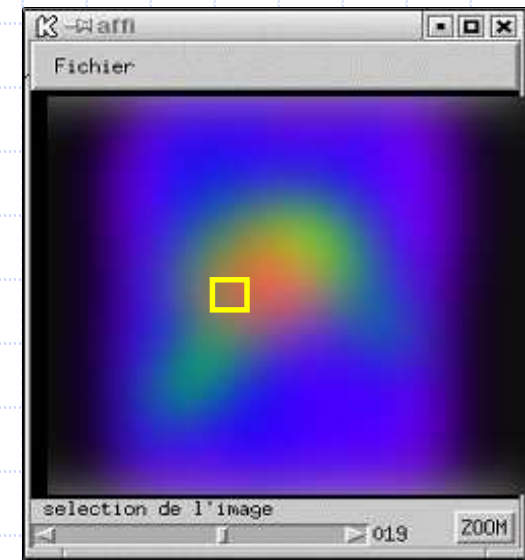
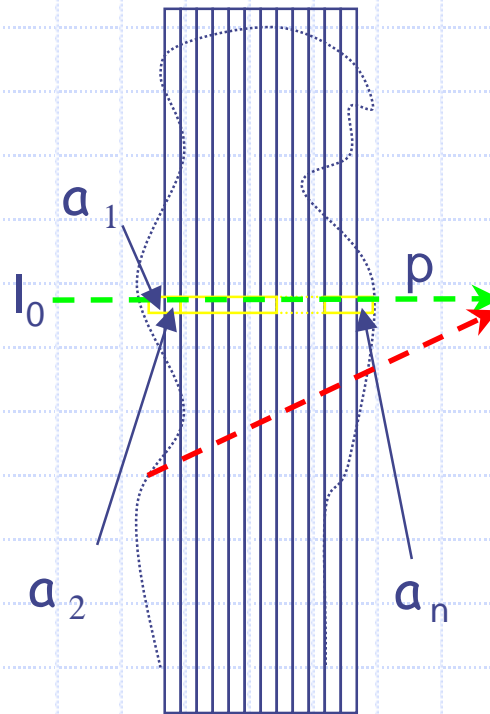
10 MeV

C

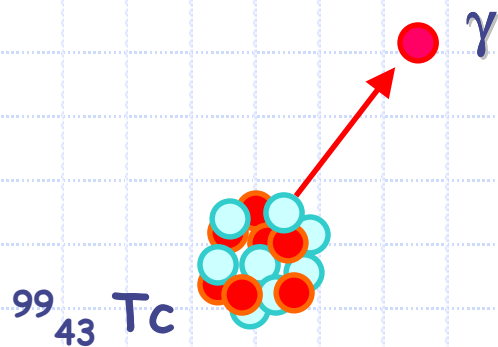
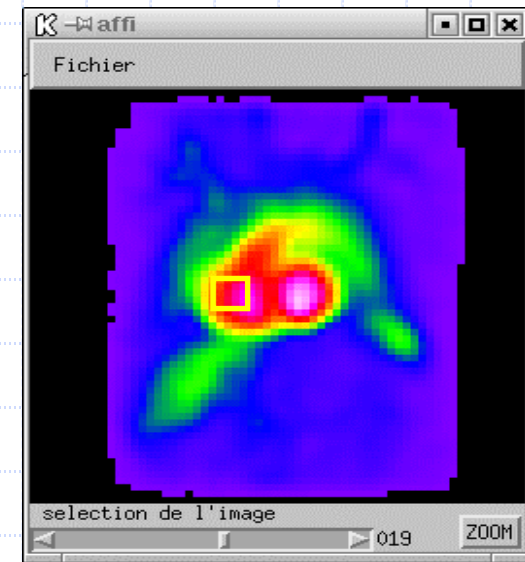
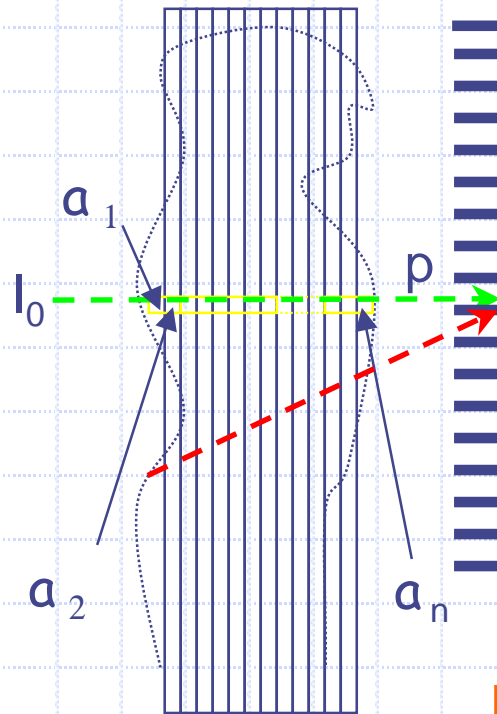
1-2 h

$^{18}OH_2$

Scintigraphie d'émission mono- photonique γ

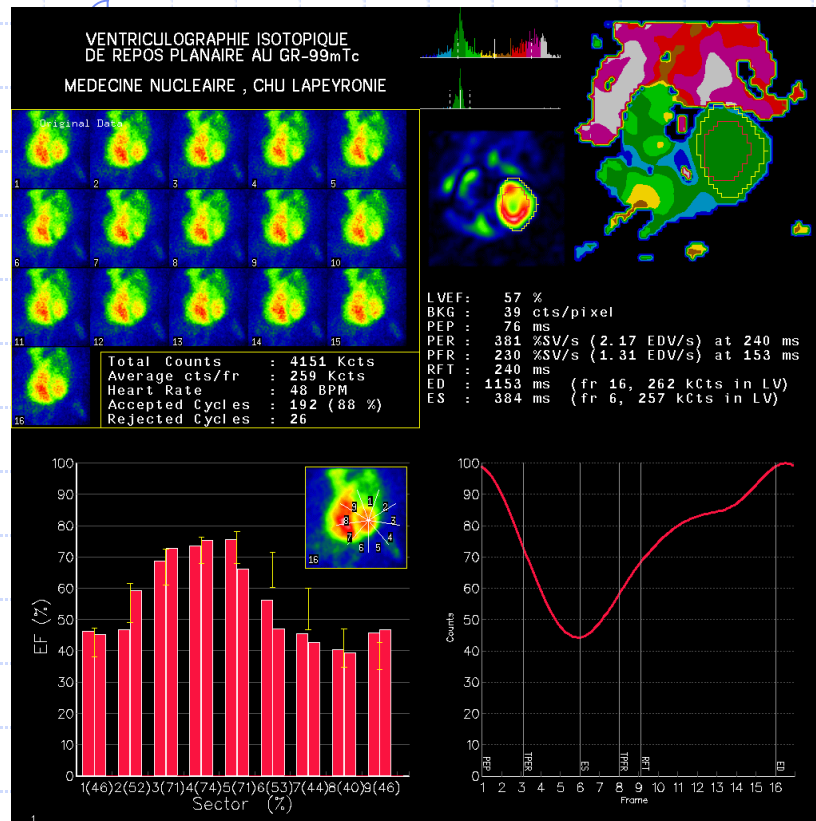


Scintigraphie d'émission mono- photonique γ



$$p = a_1 + a_2 + \dots + a_n$$

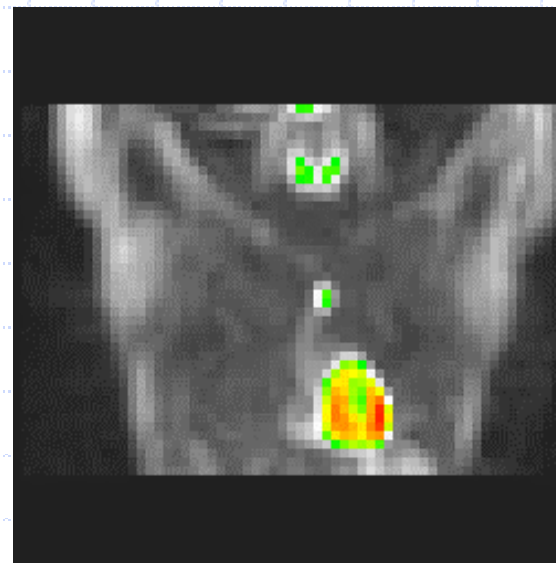
Exemples de scintigraphies γ



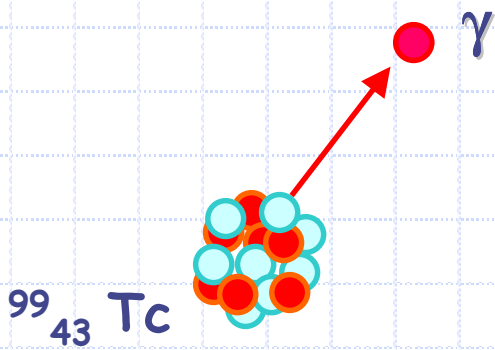
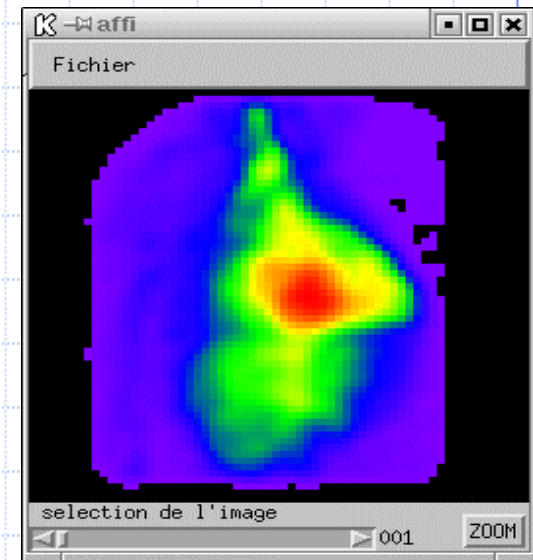
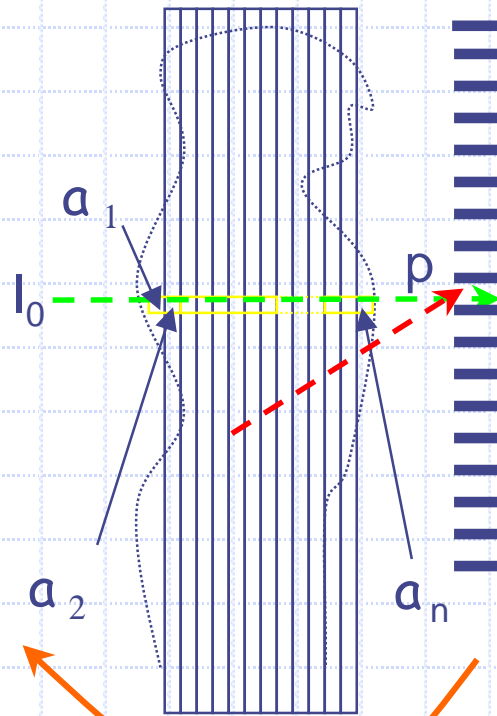
Hématies-Tc

Diphosphonate-Tc

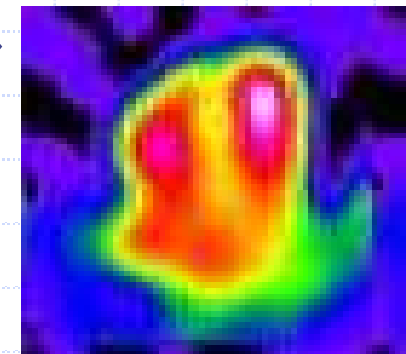
MIBI-Tc



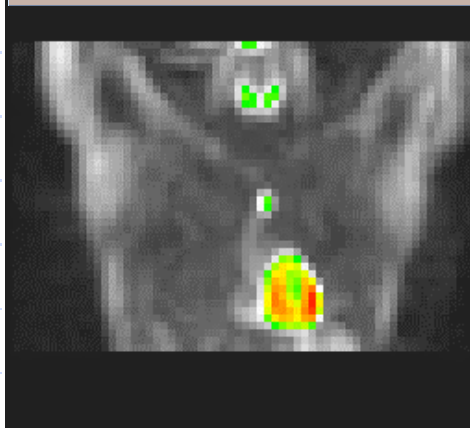
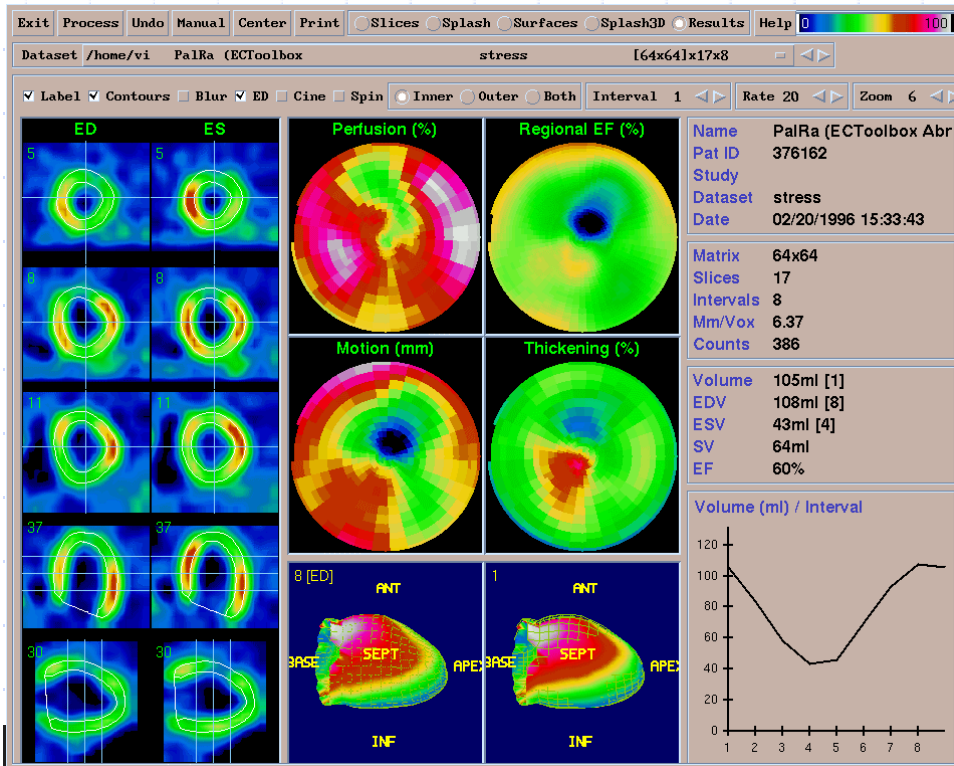
Tomo-scintigraphie par EMP γ



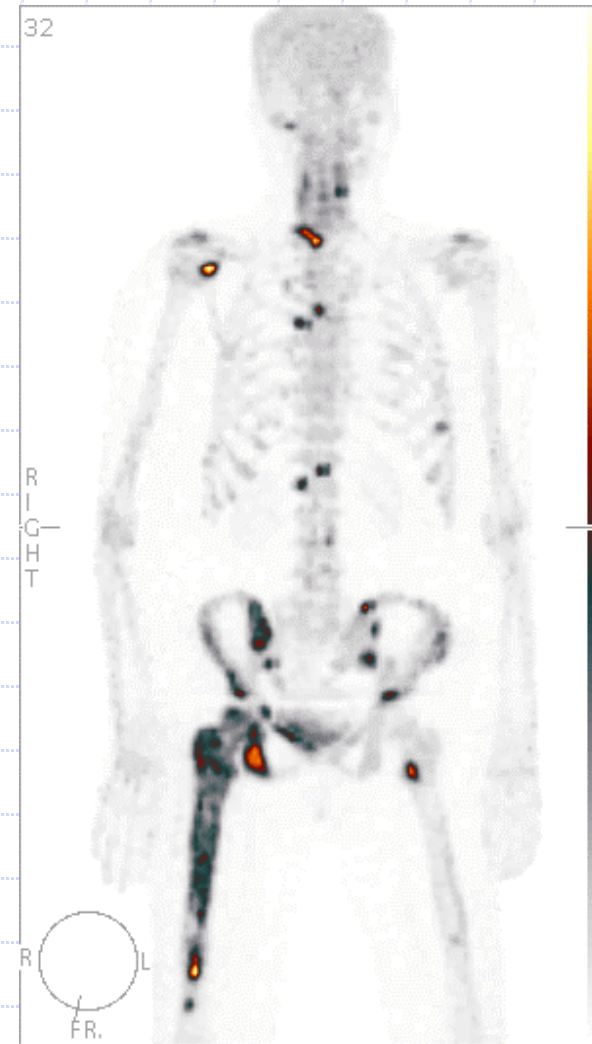
$$p^j = \sum R_i^j a_i$$



Exemples de scintigraphies γ

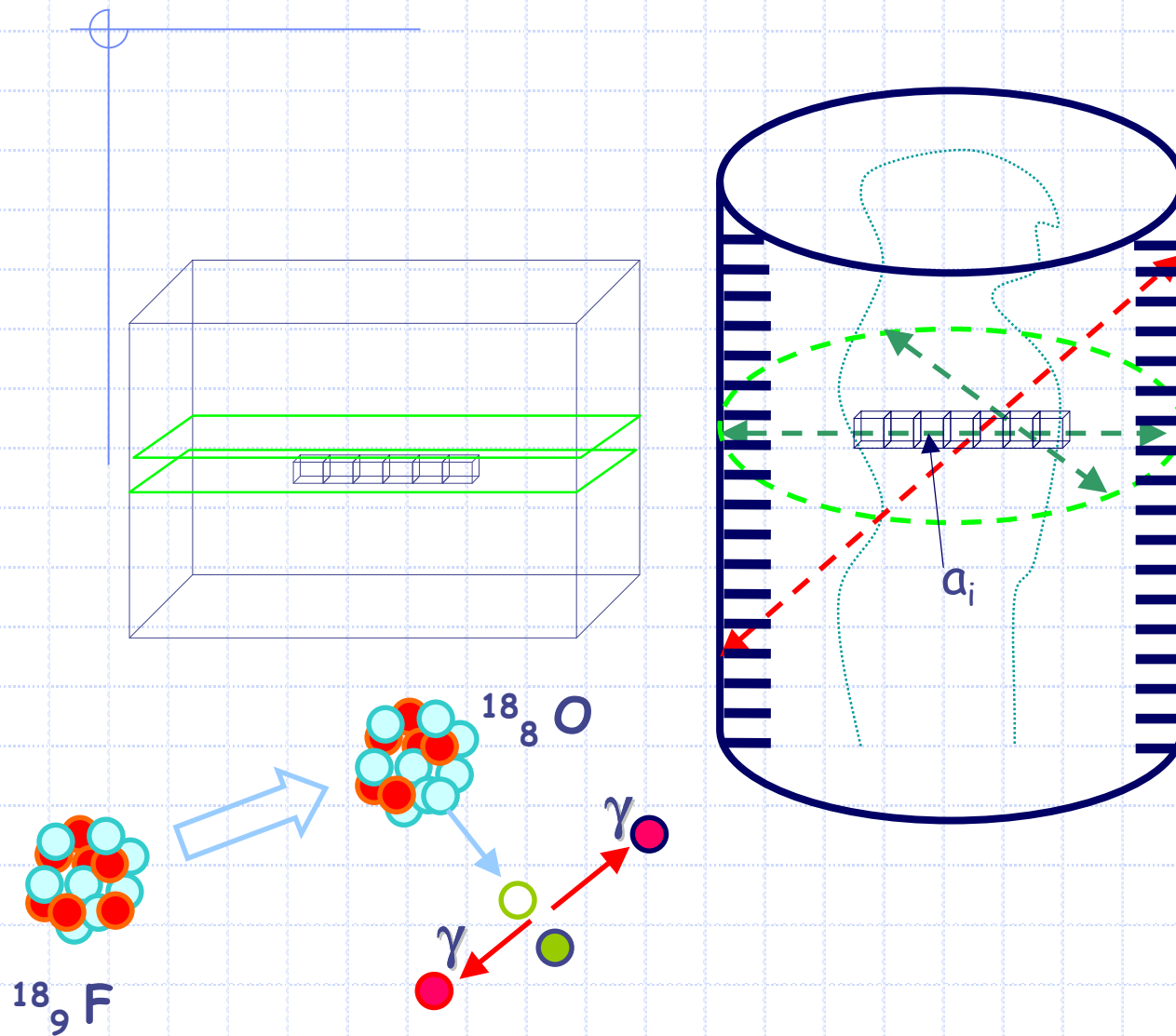


Cations lipophiles-Tc

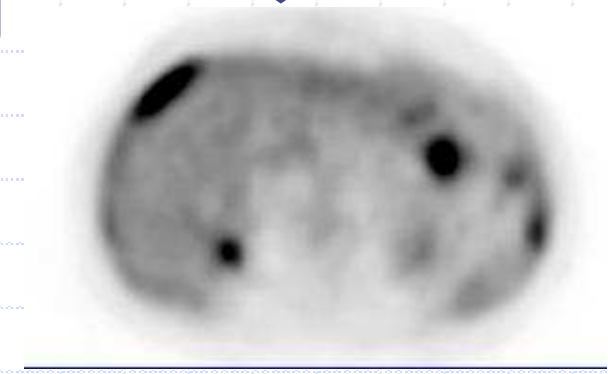
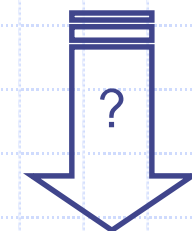


Diphosphonate-Tc

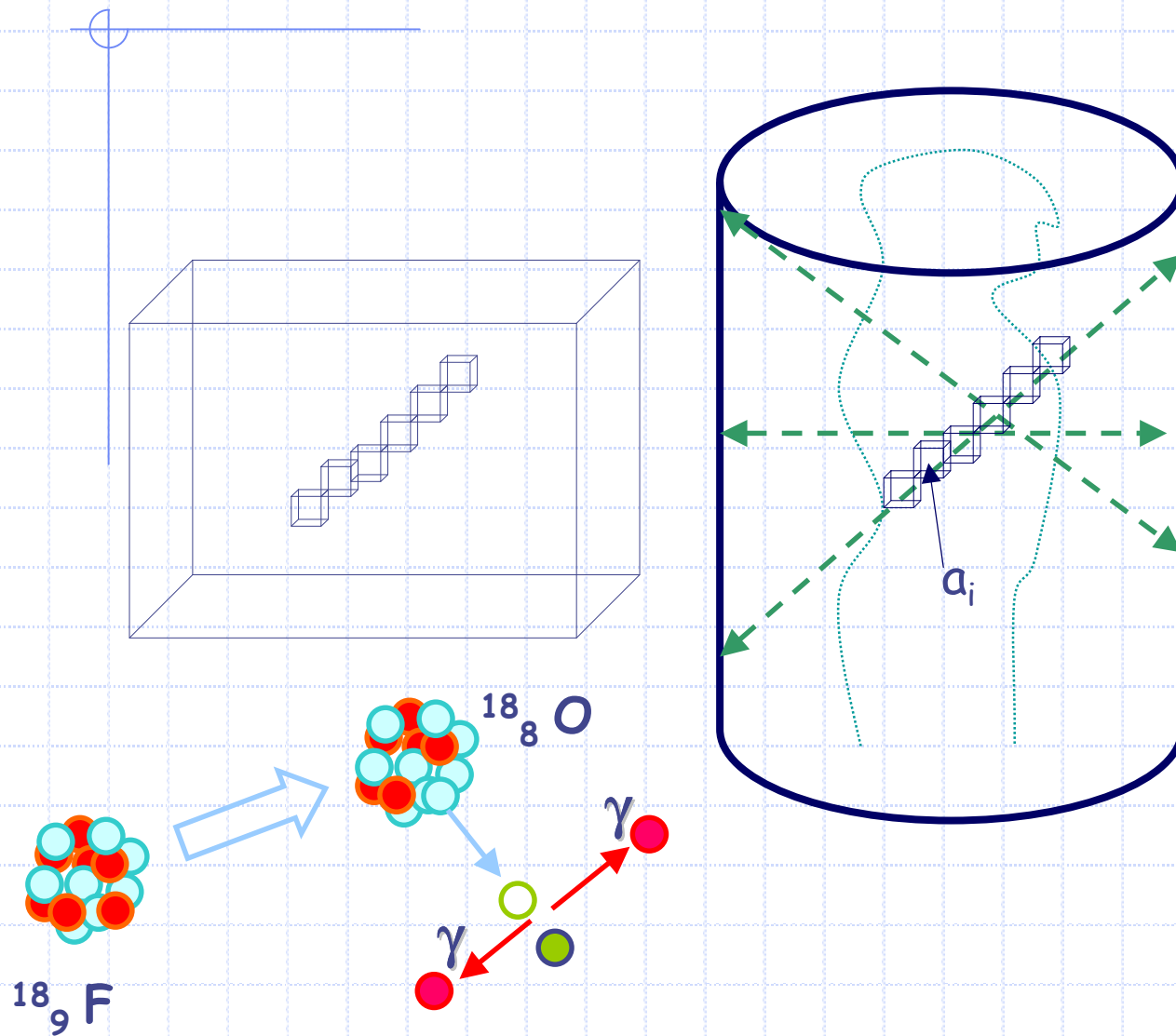
Tomographie en coïncidence 2D



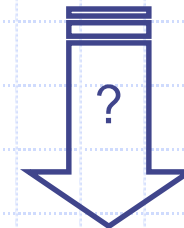
$$p = \sum R_i a_i$$



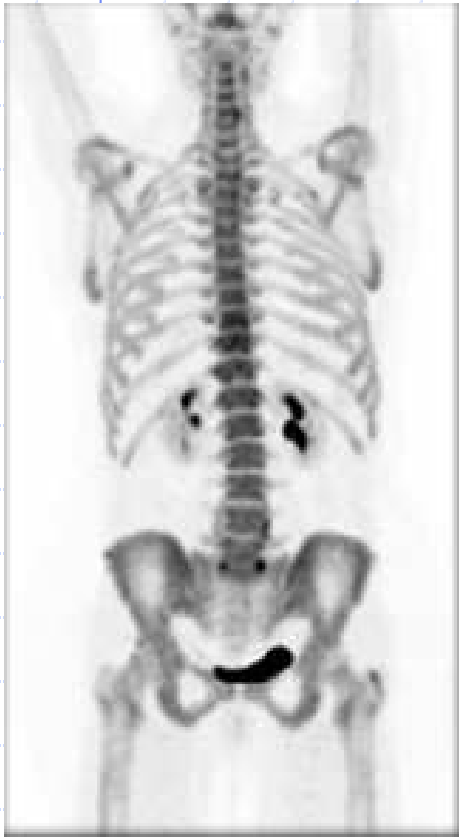
Tomographie en coïncidence 3D



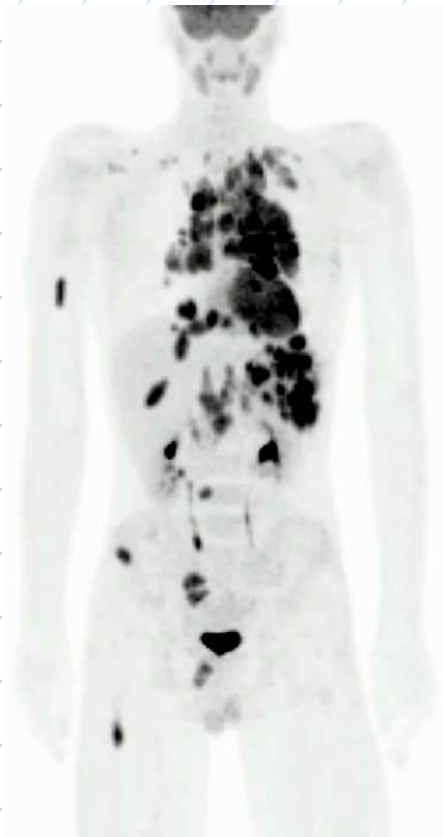
$$p = \sum R_i a_i$$



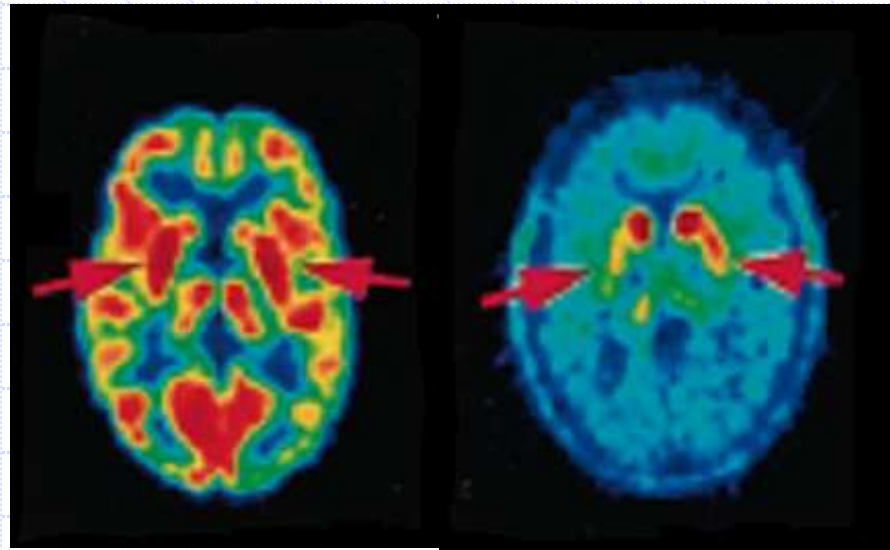
Exemples de TEP



$^{18}\text{F Na}$

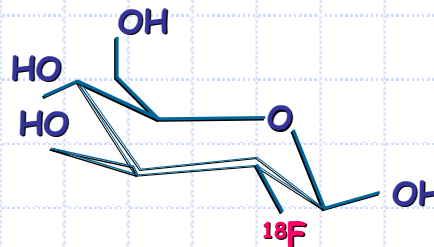


$^{18}\text{F DG}$

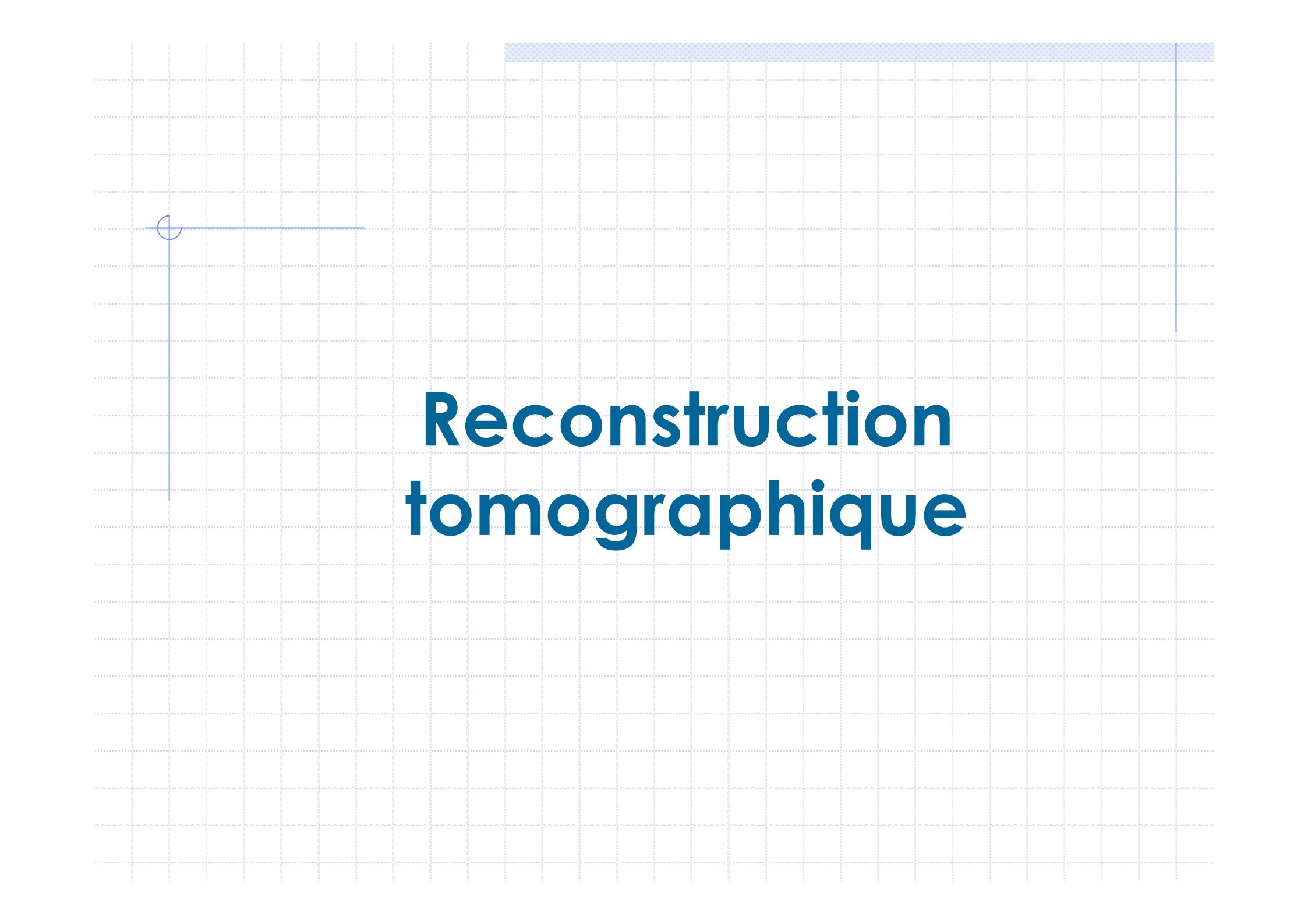


Métabolisme
 $^{18}\text{F DG}$

$^{18}\text{F DOPA}$, voie
Pré-synaptique

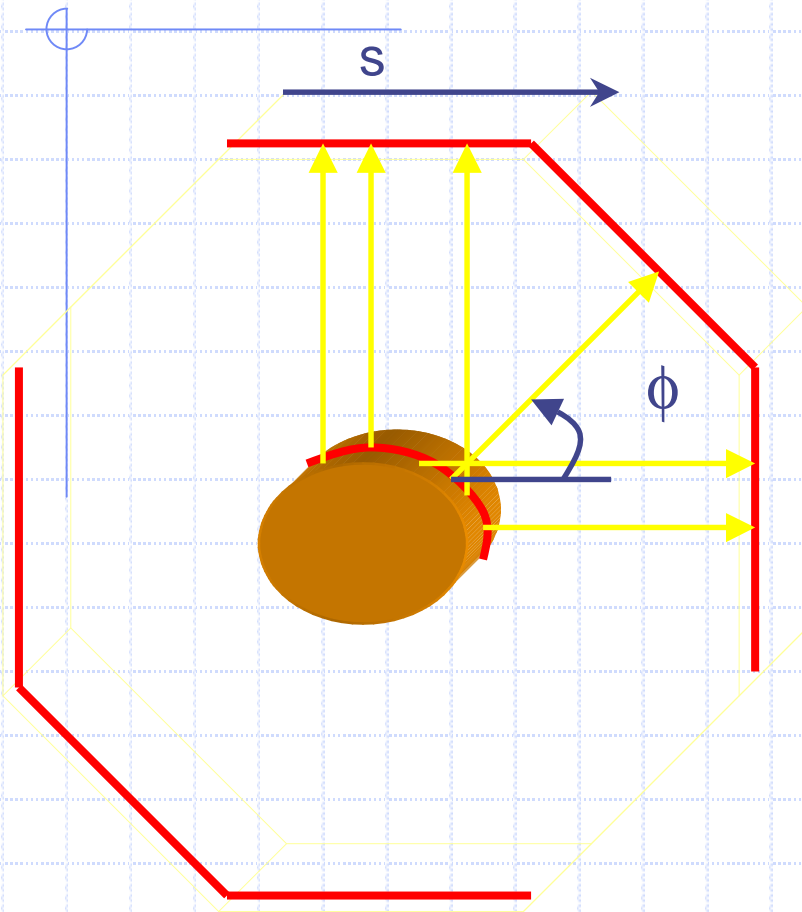


Perte
fonction
DaT
Putamen D

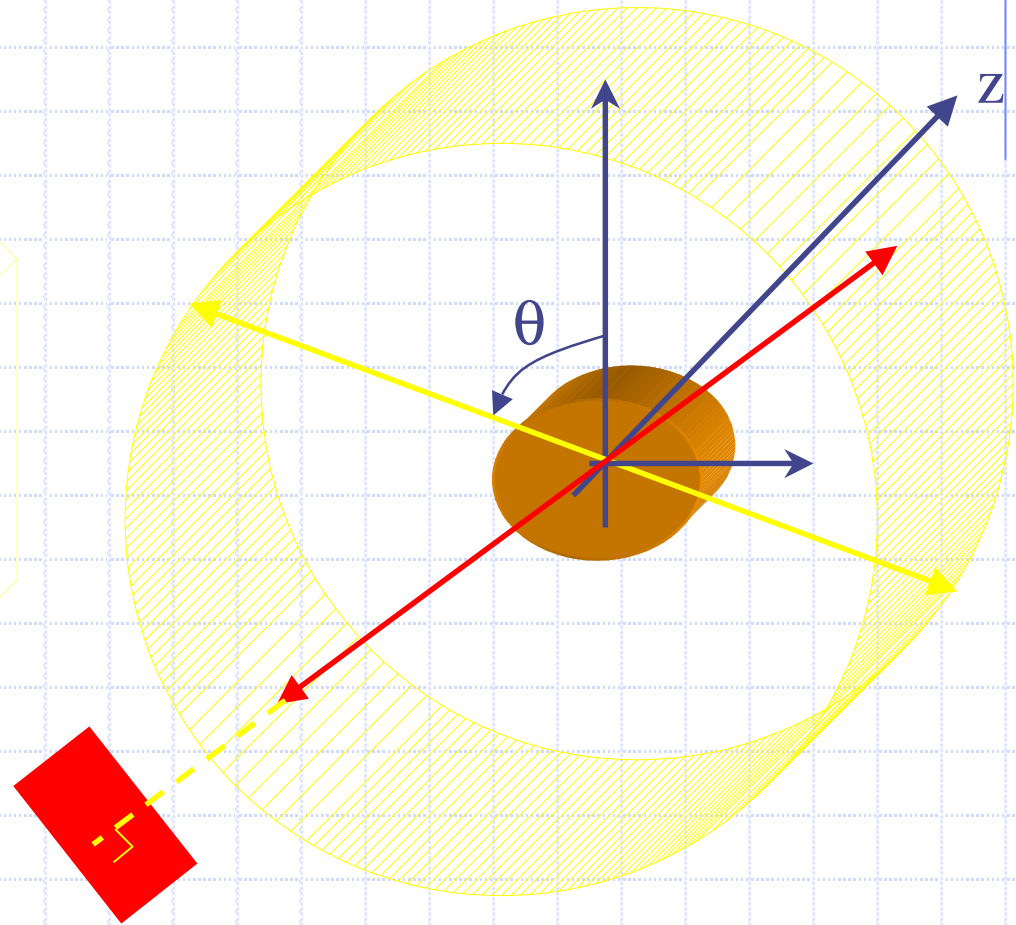


Reconstruction tomographique

Tomographie 2D et 3D



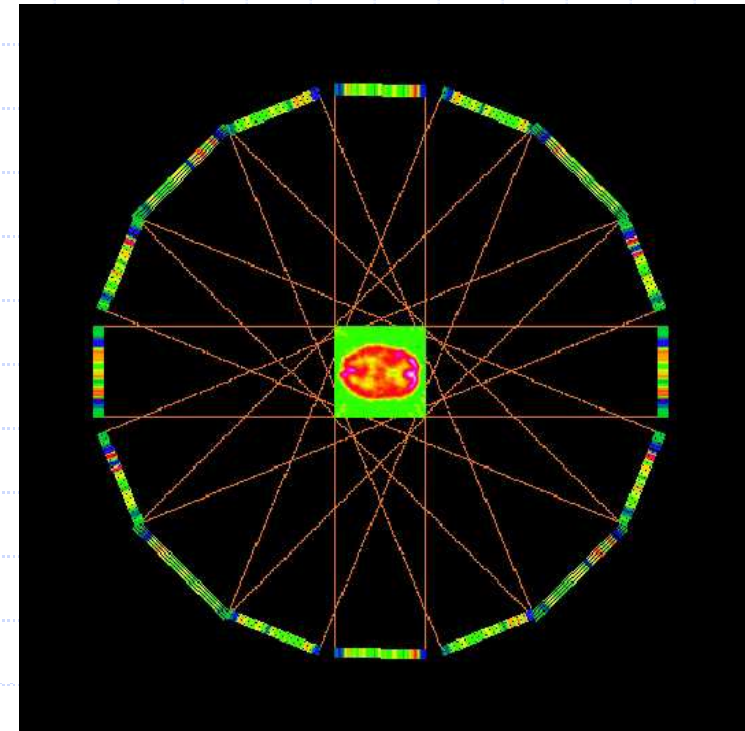
$p(s, \phi)$: lignes



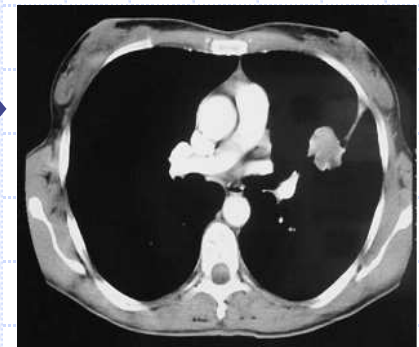
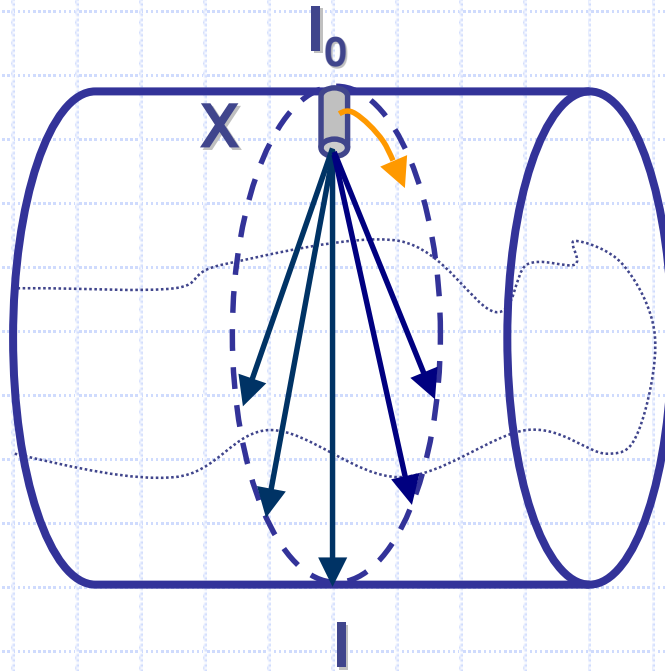
$p(s, \phi, z, \theta)$: plans

Tomographique 2D

- Modélisations analytique et algébrique
- Théorème de Radon
- Rétroprojection filtrée
- Algorithmes itératifs
- Régularisation

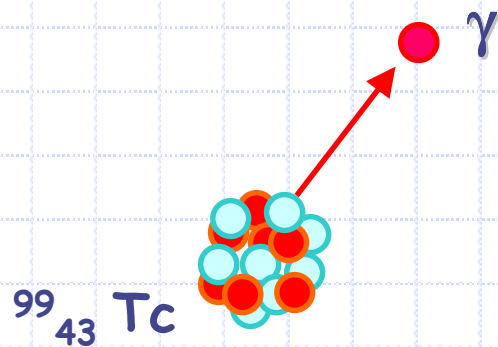
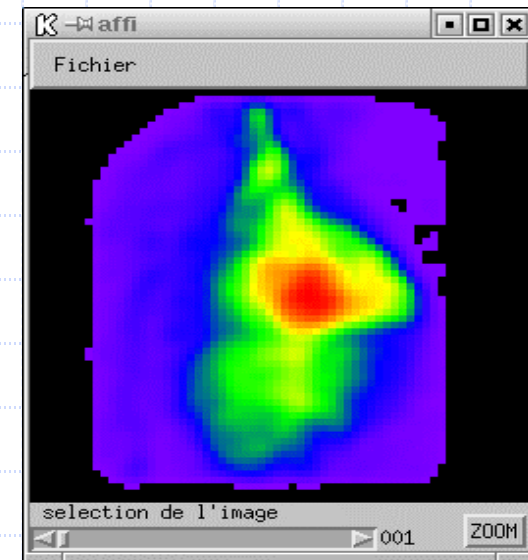
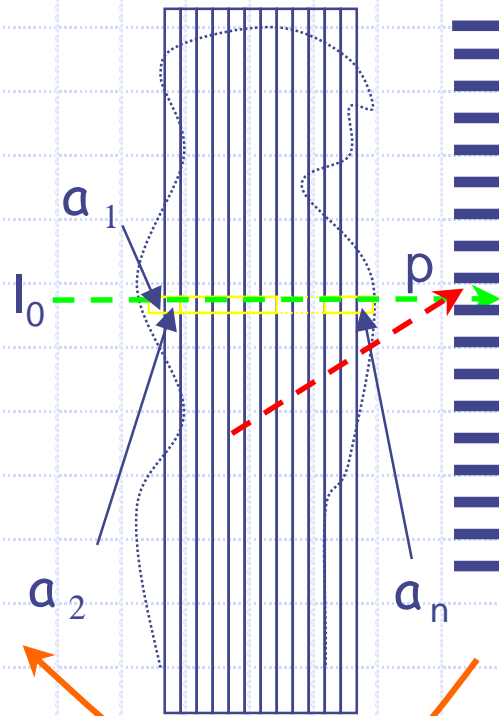


Tomodensitométrie (scanner X)

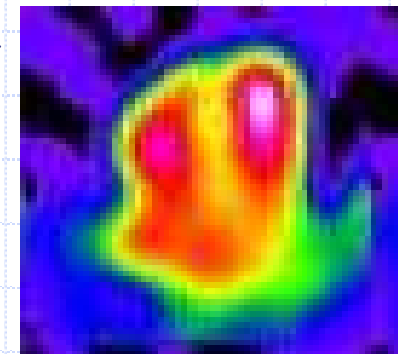


$$p = \mu_1 + \mu_2 + \dots + \mu_n$$

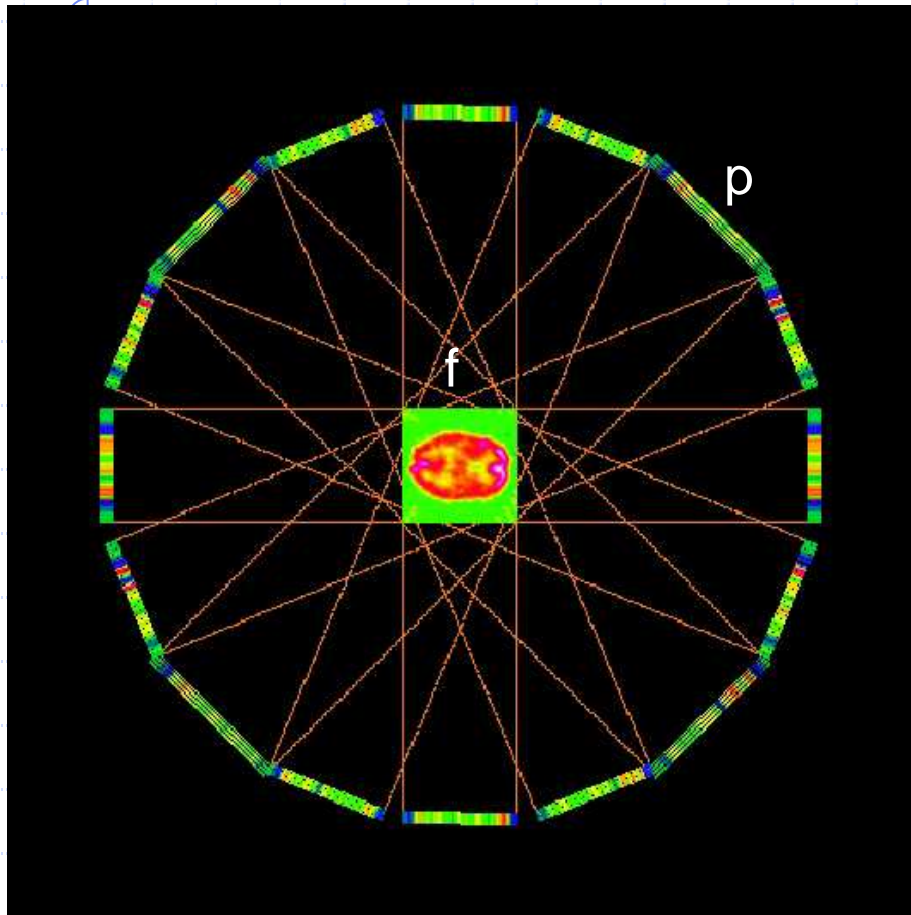
Scintigraphie d'émission mono- photonique γ



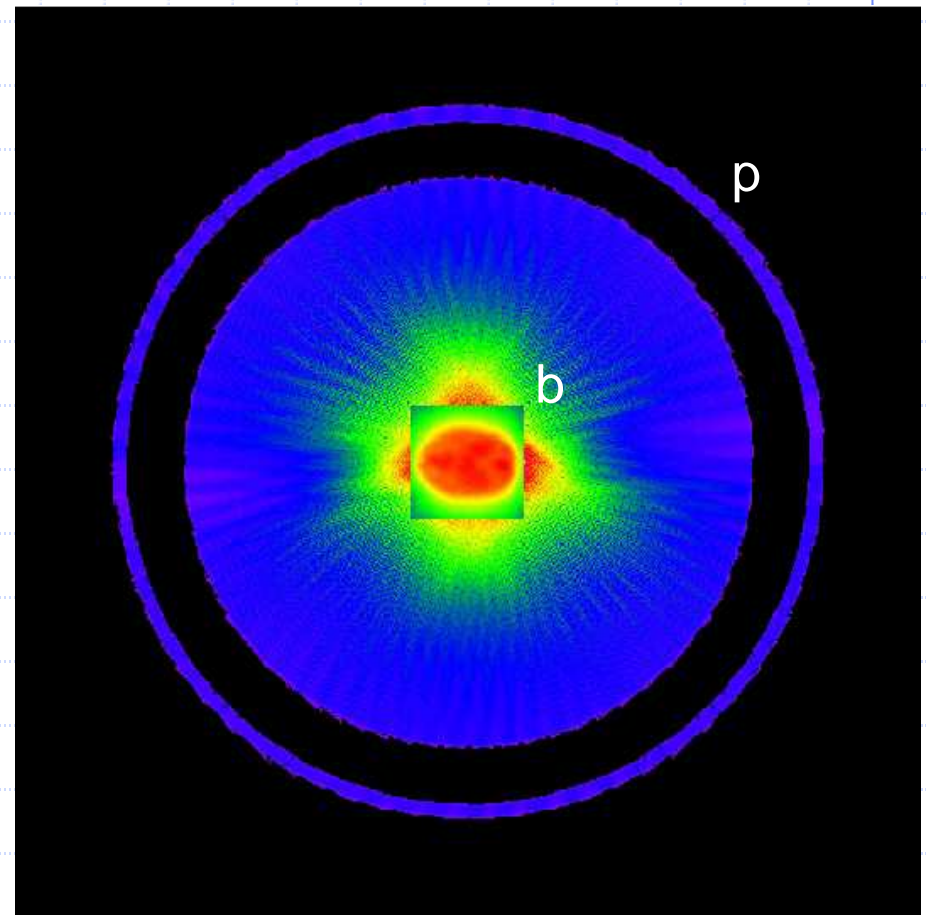
$$p = a_1 + a_2 + \dots + a_n$$



Projection / Rétroprojection

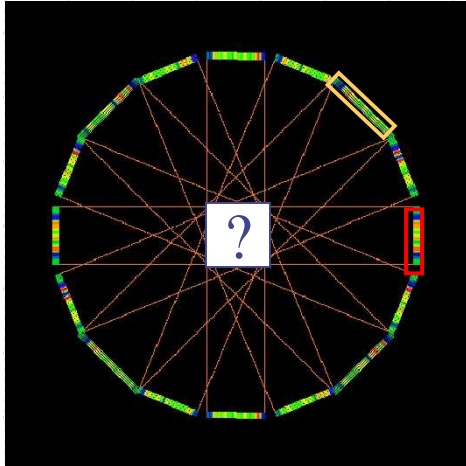


$$\mathbf{R} \cdot \vec{f} = \vec{p}$$

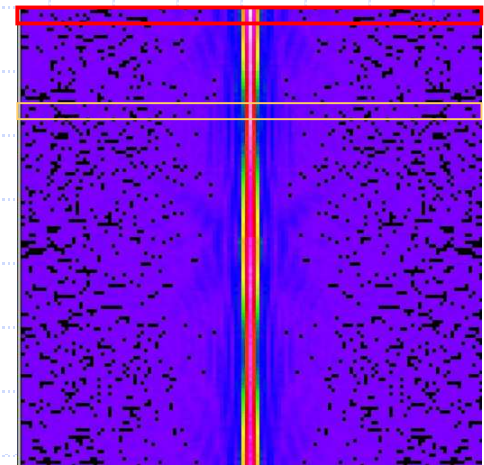
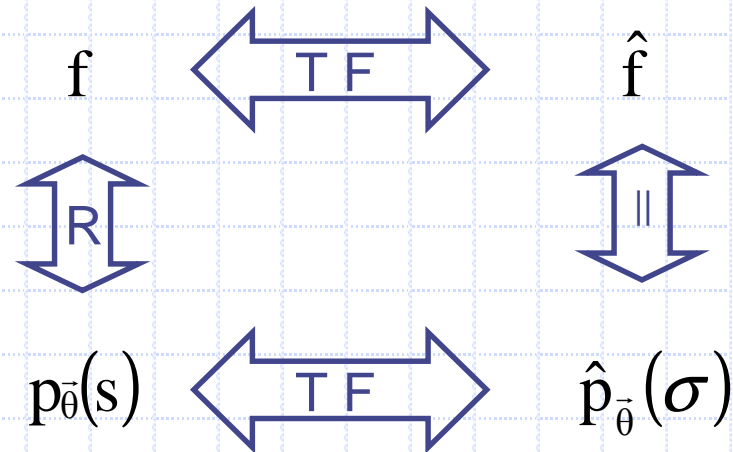
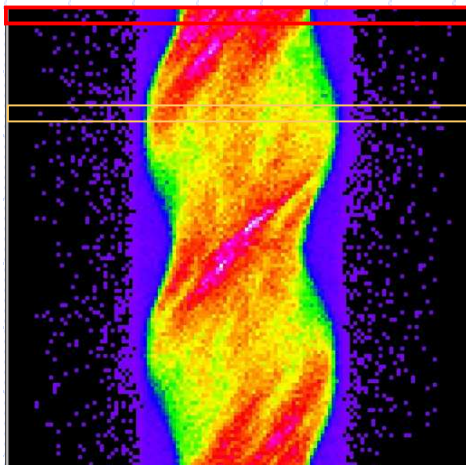
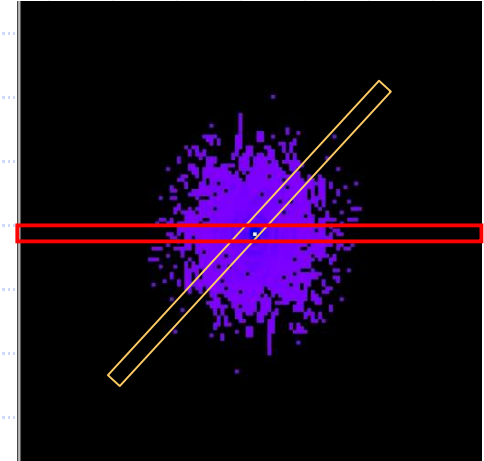


$${}^t\mathbf{R} \cdot \vec{p} = \vec{b}$$

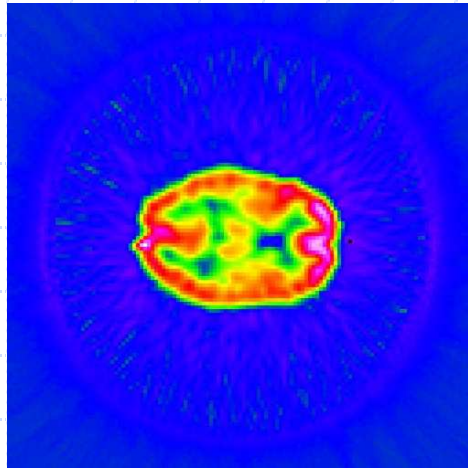
Interprétation (I)



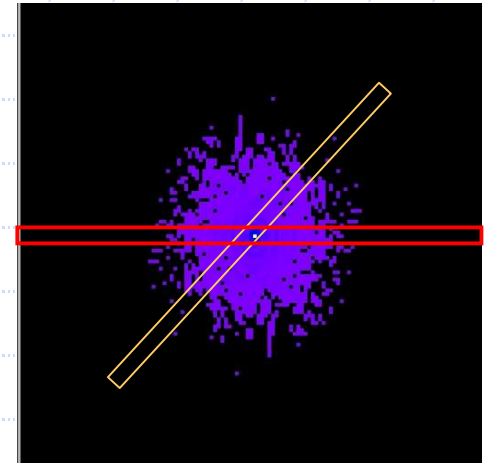
$$\hat{p}_{\vec{\theta}}(\sigma) = \hat{f}(\sigma \cdot \vec{\theta})$$



Interprétation (I)



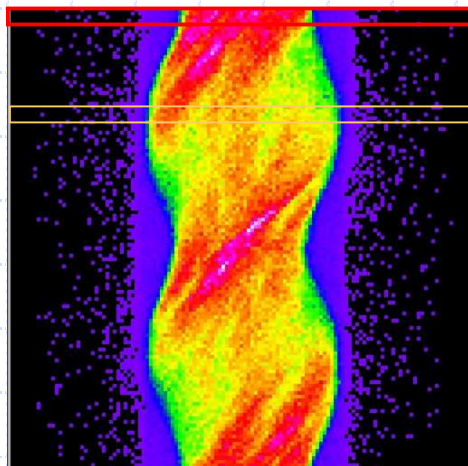
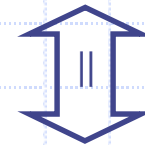
$$\hat{p}_{\vec{\theta}}(\sigma) = \hat{f}(\sigma \cdot \vec{\theta})$$



f



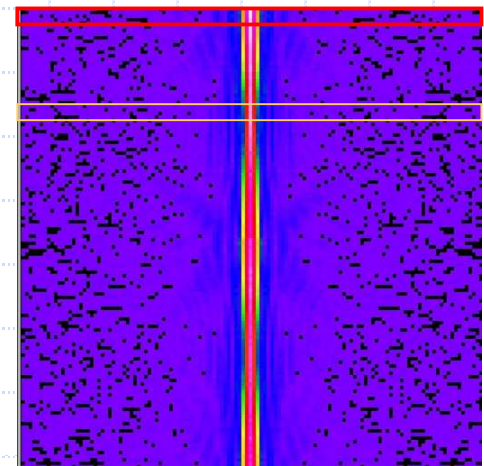
\hat{f}



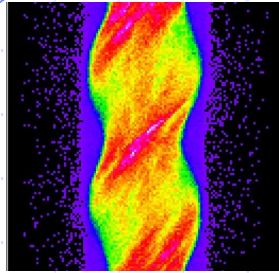
$p_{\vec{\theta}}(s)$



$\hat{p}_{\vec{\theta}}(\sigma)$



Rétroprojection filtrée (III)



$$f(i,j) = (R^* p')(i,j)$$

Projections sur 180°

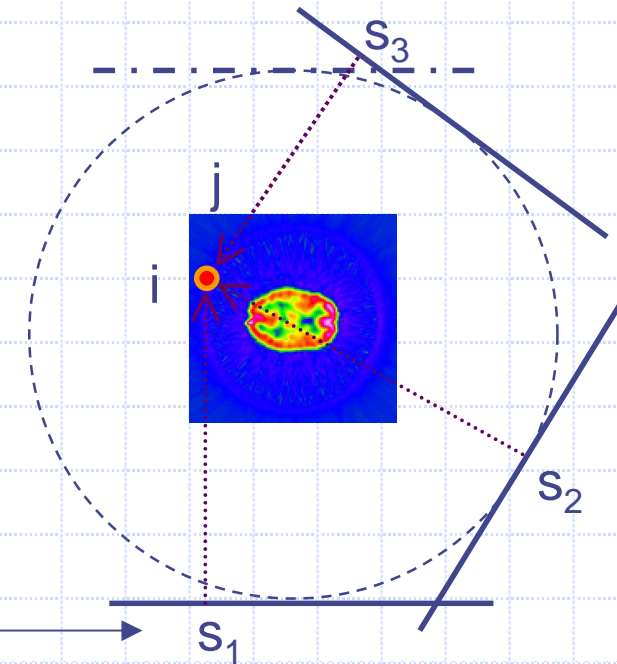
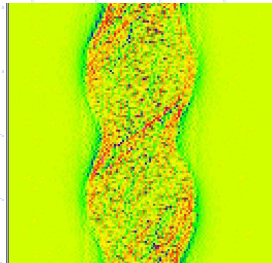
$p_{\bar{\theta}}$

$\hat{p}_{\bar{\theta}}$

abs

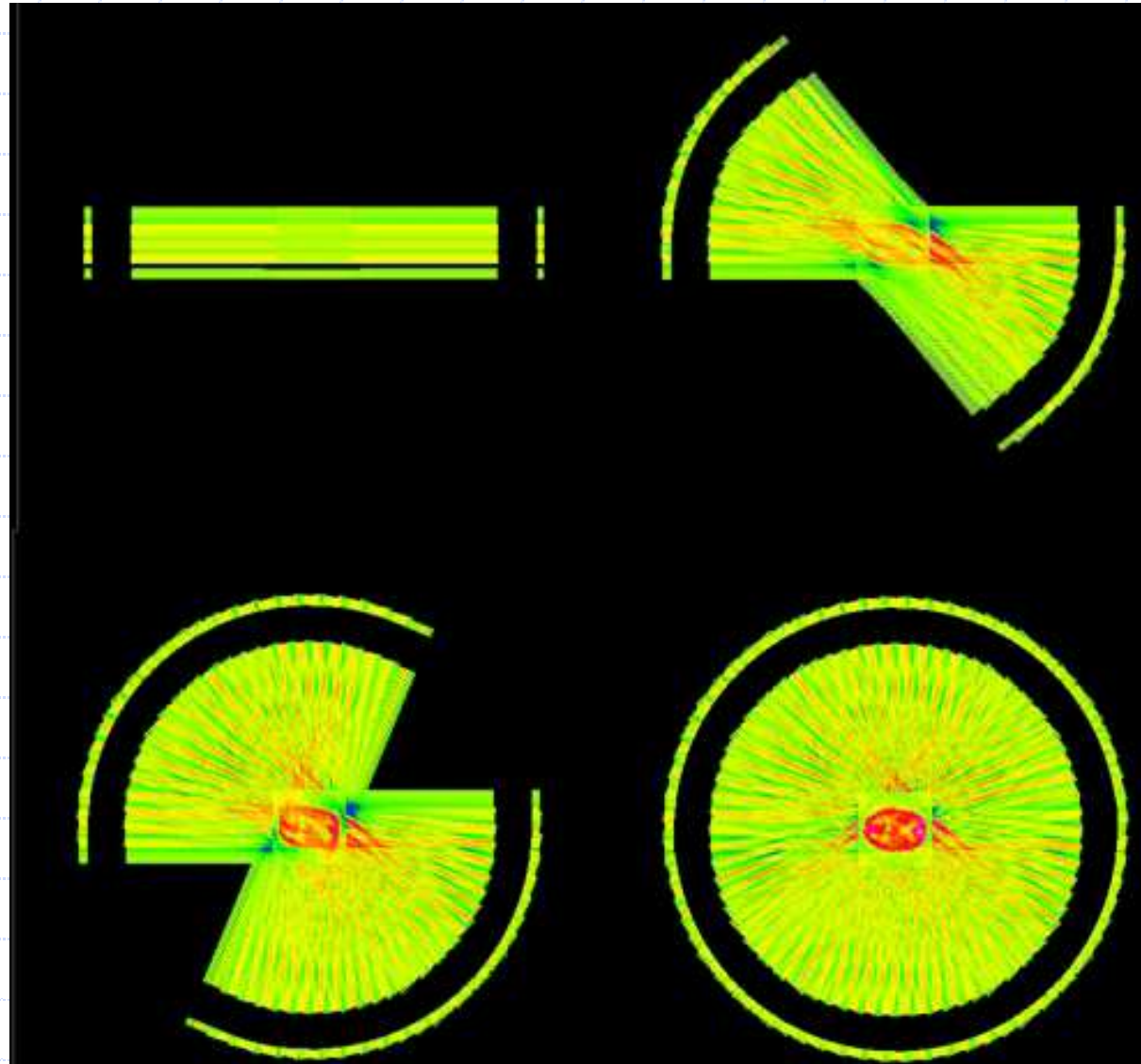
x

$$TF_s^{-1} [\hat{p}_{\bar{\theta}} \cdot \text{abs}] = p'_{\bar{\theta}}$$

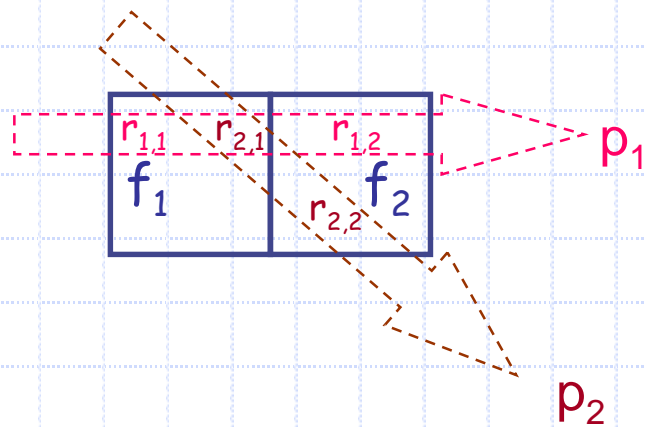


$$s = i \cdot \cos\theta + j \cdot \sin\theta$$

Rétro-Projection Filtrée

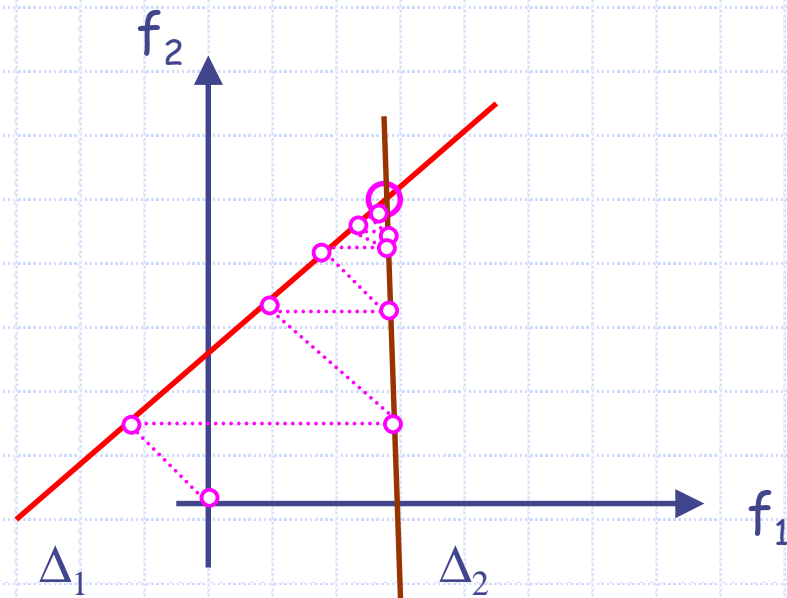


Algorithmes itératifs (ART)



$$\left\{ \begin{array}{l} \Delta_1 \quad p_1 = r_{1,1} f_1 + r_{1,2} f_2 \\ \Delta_2 \quad p_2 = r_{2,1} f_1 + r_{2,2} f_2 \end{array} \right.$$

Kaczmarz



Algorithmes itératifs (ART)

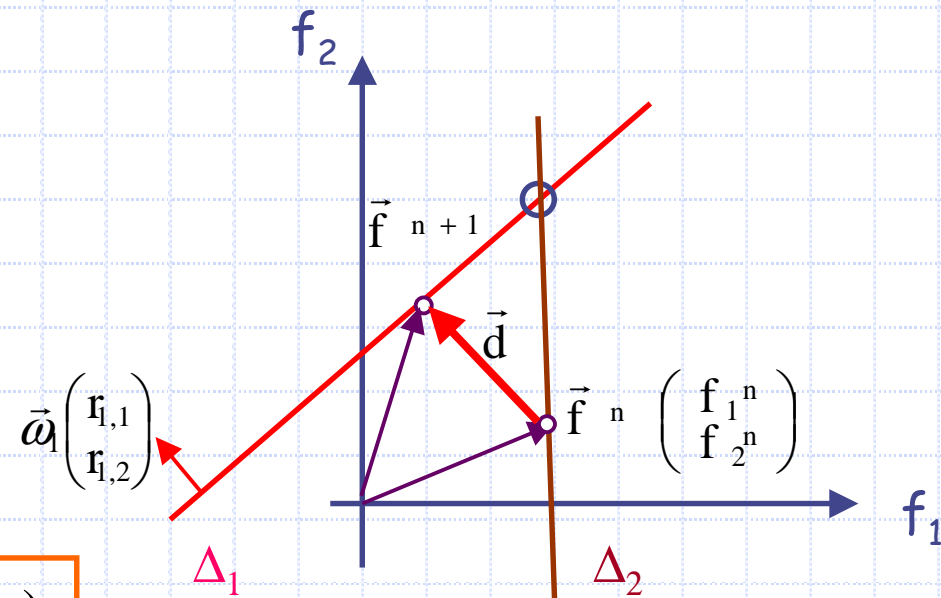
$$\begin{cases} \vec{f}^{n+1} = \vec{f}^n + d \frac{\vec{\omega}_1}{\|\vec{\omega}_1\|} \\ d = \frac{p_1 - \langle \vec{f}^n, \vec{\omega}_1 \rangle}{\|\vec{\omega}_1\|} \end{cases}$$

$$\Delta_1 \quad p_1 = r_{1,1} f_1 + r_{1,2} f_2$$

$$\Delta_2 \quad p_2 = r_{2,1} f_1 + r_{2,2} f_2$$

$$p_1^n = r_{1,1} f_1^n + r_{1,2} f_2^n$$

$$\vec{f}^{n+1} = \vec{f}^n + \frac{p_1 - p_1^n}{\|\vec{\omega}_1\|^2} \vec{\omega}_1$$



$$\vec{f}^{n+1} = \vec{f}^n + R^* (p_1 - p_1^n)$$

ART

$$\vec{f}^{n+1} = \vec{f}^n + R * (p_i - p_i^n)$$

0	0	0
0	0	0
0	0	0

45 90 45

← 45 - 0 = 15 + 15 + 15

← 90 - 0 = 30 + 30 + 30

← 45 - 0

⇒

15	15	15
30	30	30
15	15	15

↓ 45 90 45

- 60 60 60

-15 30 -15

10	25	10
25	40	25
10	25	10

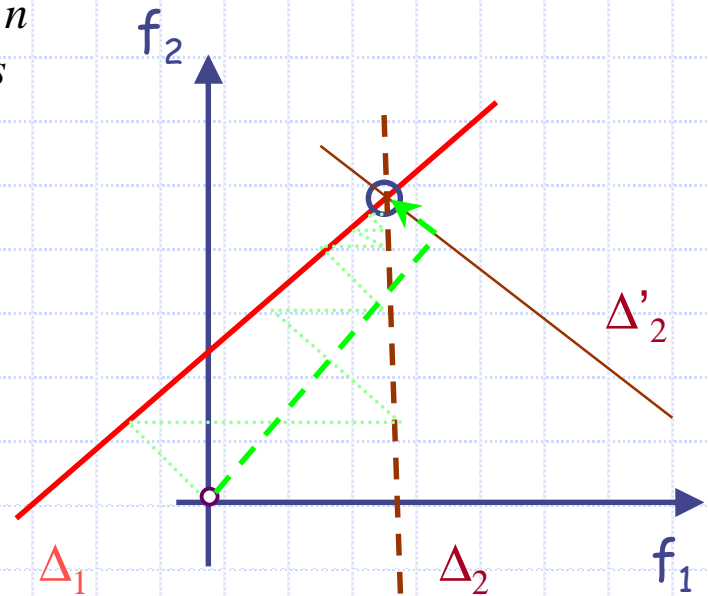


Méthodes Algébriques EM (I)

- ◆ Maximiser $-\log[\text{Proba}(p/f)]$
- ◆ Bruit de Poisson sur p

$$f_i^{n+1} = f_i^n \cdot \frac{1}{\sum_{l'=1}^P r_{l',i}} \sum_{l=1}^P r_{l,i} \frac{p_l}{\sum_{s=1}^N r_{l,s} f_s^n}$$

$$\vec{f}^{n+1} = \vec{f}^n \cdot \sum_l r_{l,i} R^* \begin{bmatrix} p_l \\ p_l^n \end{bmatrix}$$



Méthodes Algébriques (II)

◆ Gradient conjugué :

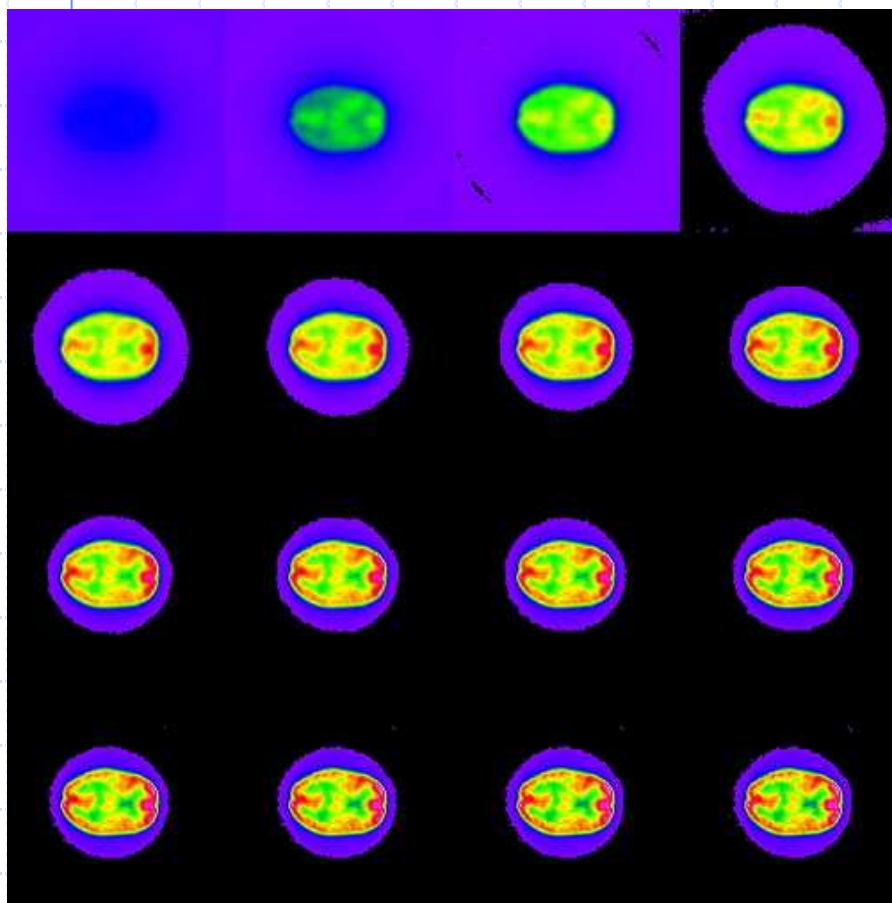
$$\text{Minimiser } \chi^2(\vec{f}^n) = \|\mathbf{R} \vec{f}^n - \vec{p}\|^2$$

$$\vec{f}^{n+1} = \vec{f}^n + a_n \cdot \mathbf{R}^* (\vec{p} - \mathbf{R} \vec{f}^n)$$

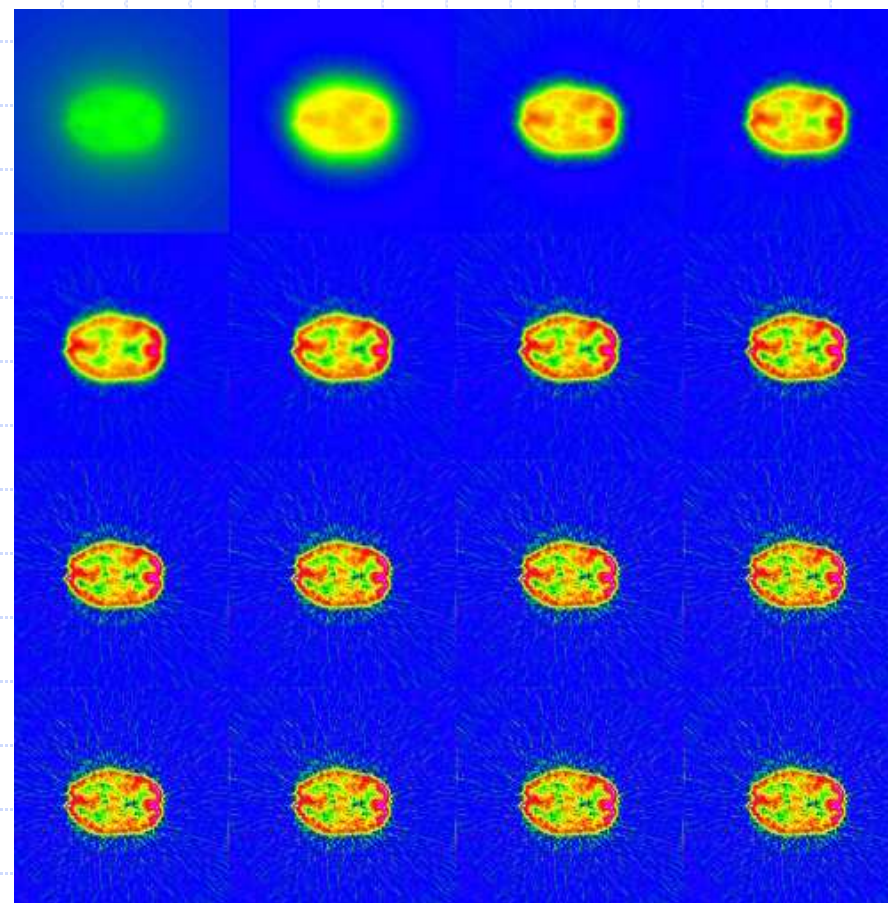
$$\vec{\nabla} \chi^2(\vec{f}^n) = \mathbf{R}^* (\vec{p} - \mathbf{R} \vec{f}^n)$$

$$a_n = \frac{\|\vec{\nabla} \chi^2(\vec{f}^n)\|^2}{\langle \vec{\nabla} \chi^2(\vec{f}^n), \mathbf{R} \mathbf{R}^* (\vec{\nabla} \chi^2(\vec{f}^n)) \rangle}$$

Les itérations

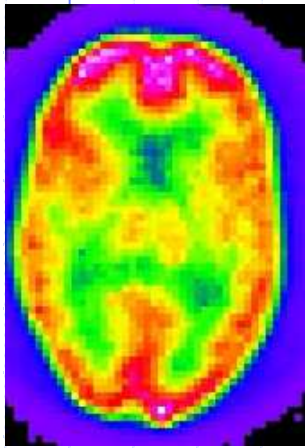


MLEM

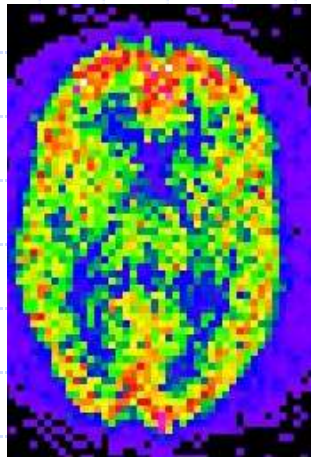


Gradient Conjugué

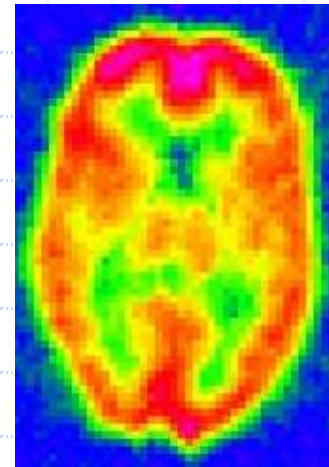
Comparaison des résultats



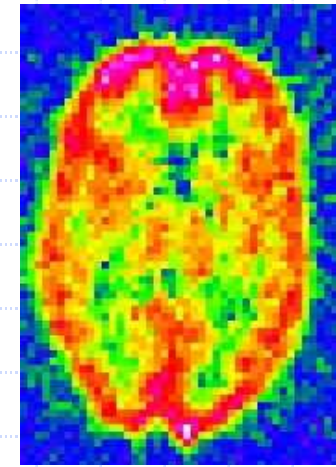
MLEM 6



MLEM 200

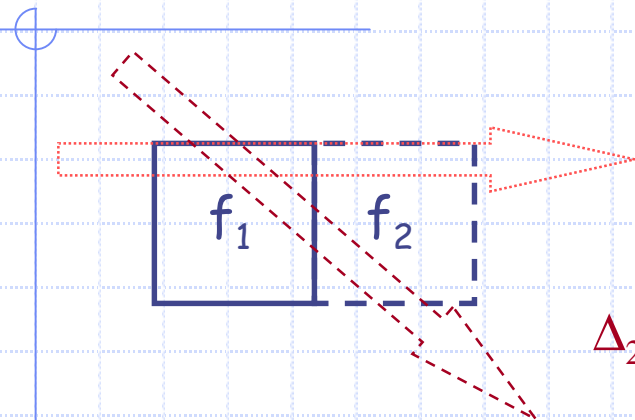


GC 6



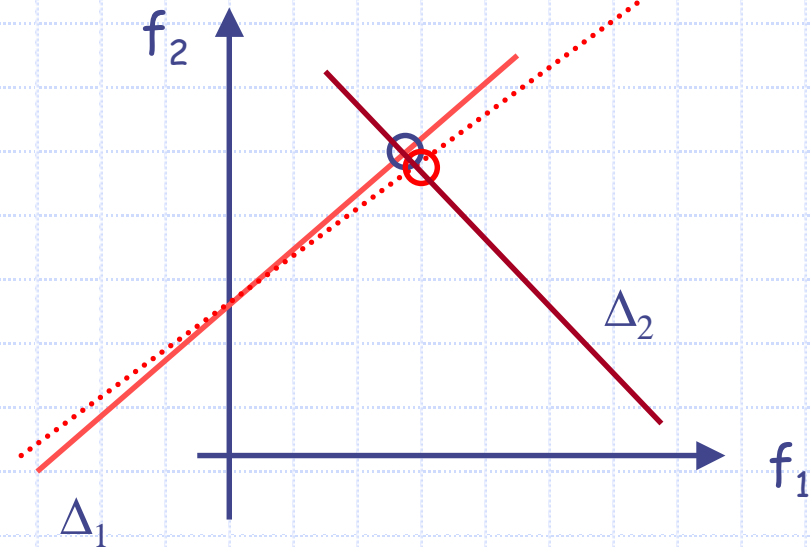
GC 16

Approche intuitive (I)

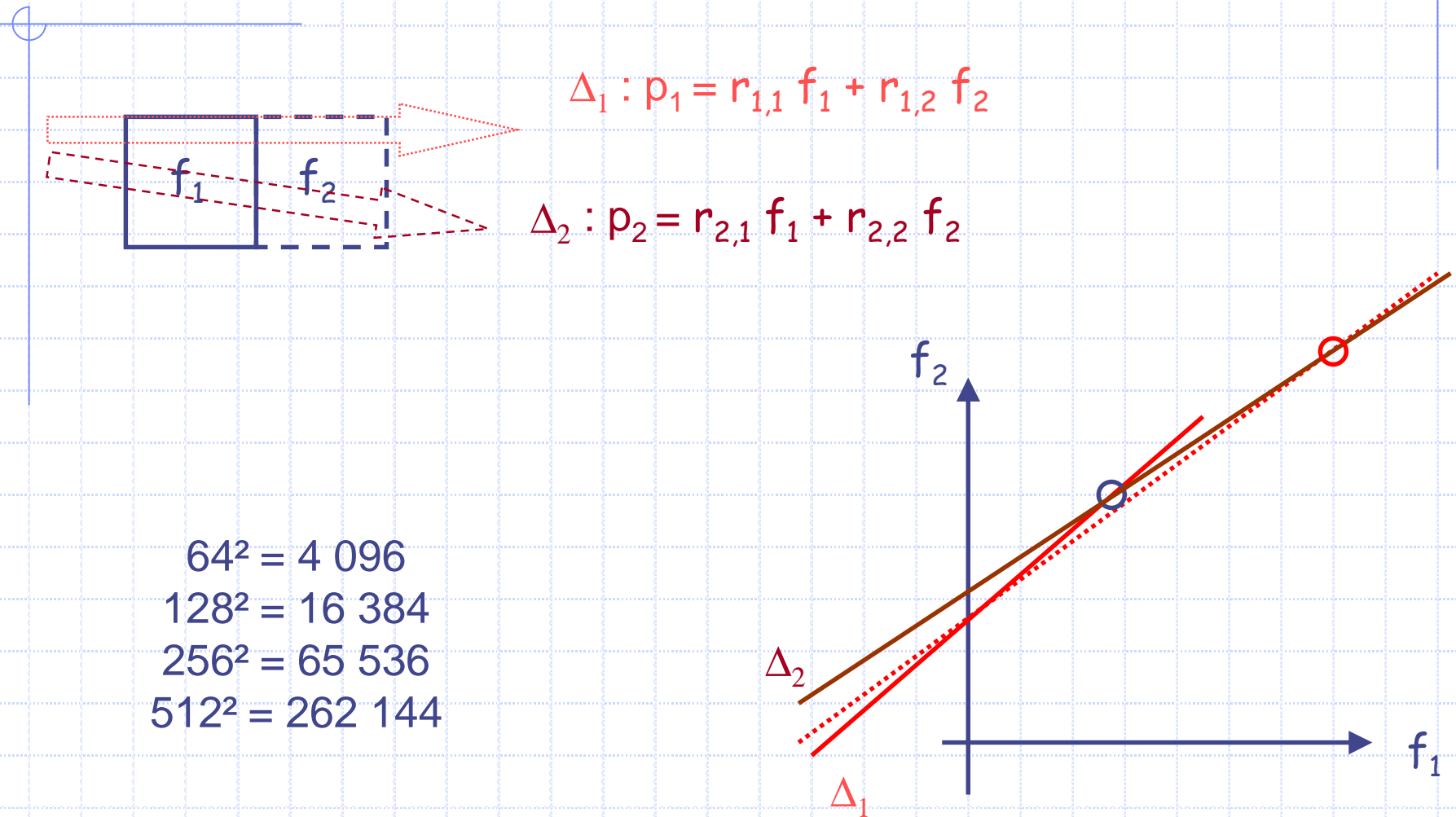


$$\Delta_1 : p_1 = r_{1,1} f_1 + r_{1,2} f_2$$

$$\Delta_2 : p_2 = r_{2,1} f_1 + r_{2,2} f_2$$



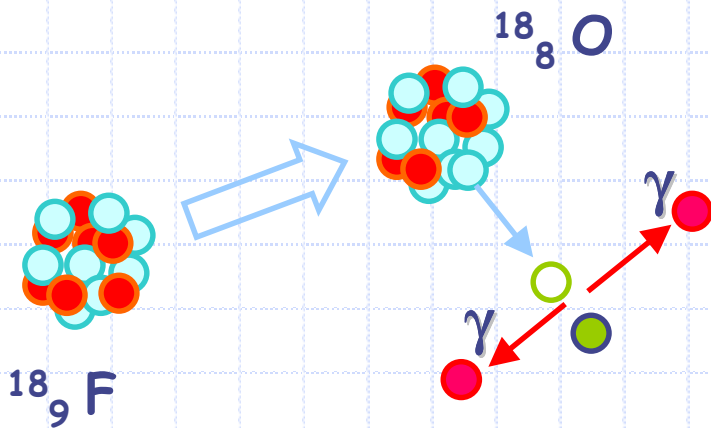
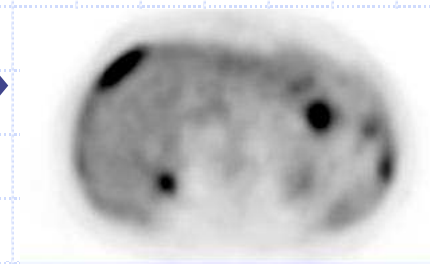
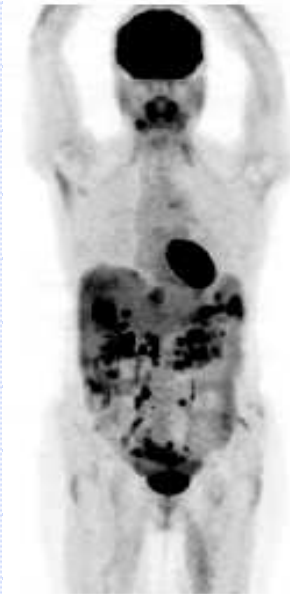
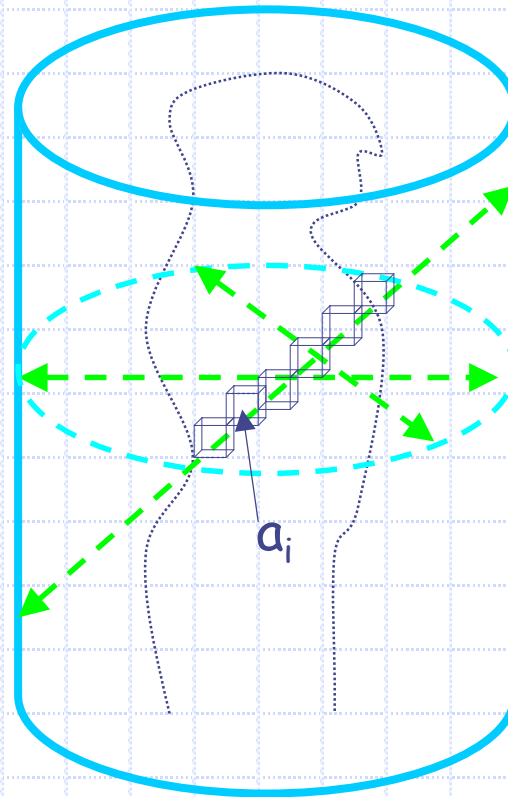
Approche intuitive (II)



Reconstruction tomographique 3D

- ◆ Condition d'Orlov et projections tronquées
- ◆ Théorème de Radon 3D et RPF 3D
- ◆ Algorithmes de ré-arrangement

Tomographie en coïncidence 3D



$$p = a_1 + a_2 + \dots + a_n$$

Tomographie 3D

- ◆ Emission radioactive : aléatoire

- ◆ Loi binomiale \rightarrow Loi de poisson

- ◆ Rapport signal sur bruit :

- ↳ Exploiter les projections obliques (redondantes)

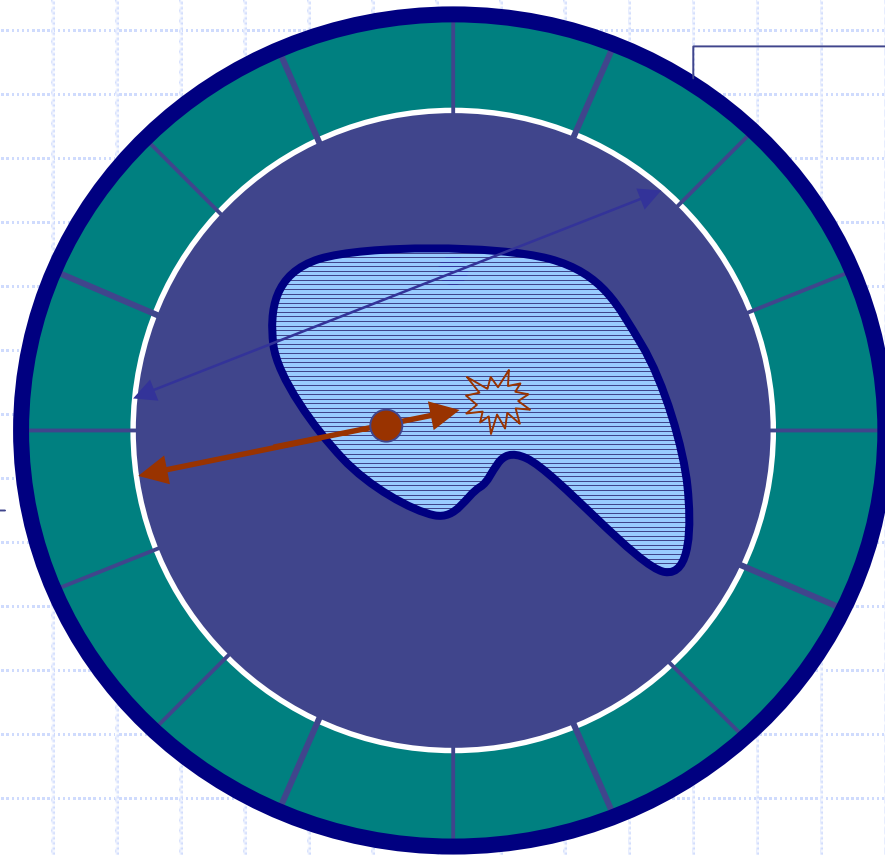
Reconstruction en TEP

- Reconstruction 2D de données 2D (septa)
 - Faible statistique de comptage
- Réarrangement 2D de données 3D
 - Algorithmes de «rebinning» (single, multi, FORE)
 - S/B \nearrow mais approximation
- Reconstruction 3D de données 3D
 - S/B \nearrow mais temps de calcul $\nearrow\nearrow$
 - Techniques analytiques ou algébriques



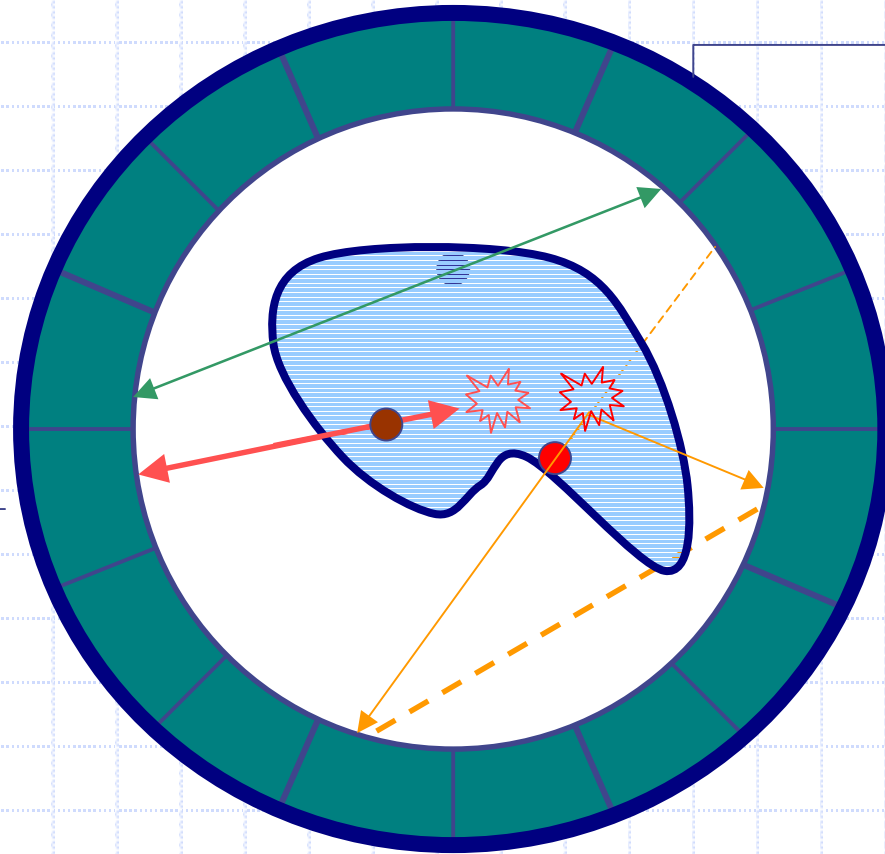
Traitement et analyse multimodal

Interactions Photons-Matière en TEP



Fenêtre de détection des coïncidences

Interactions Photons-Matière en TEP



Fenêtre de détection des coïncidences

Atténuations

◆ Photo-électrique

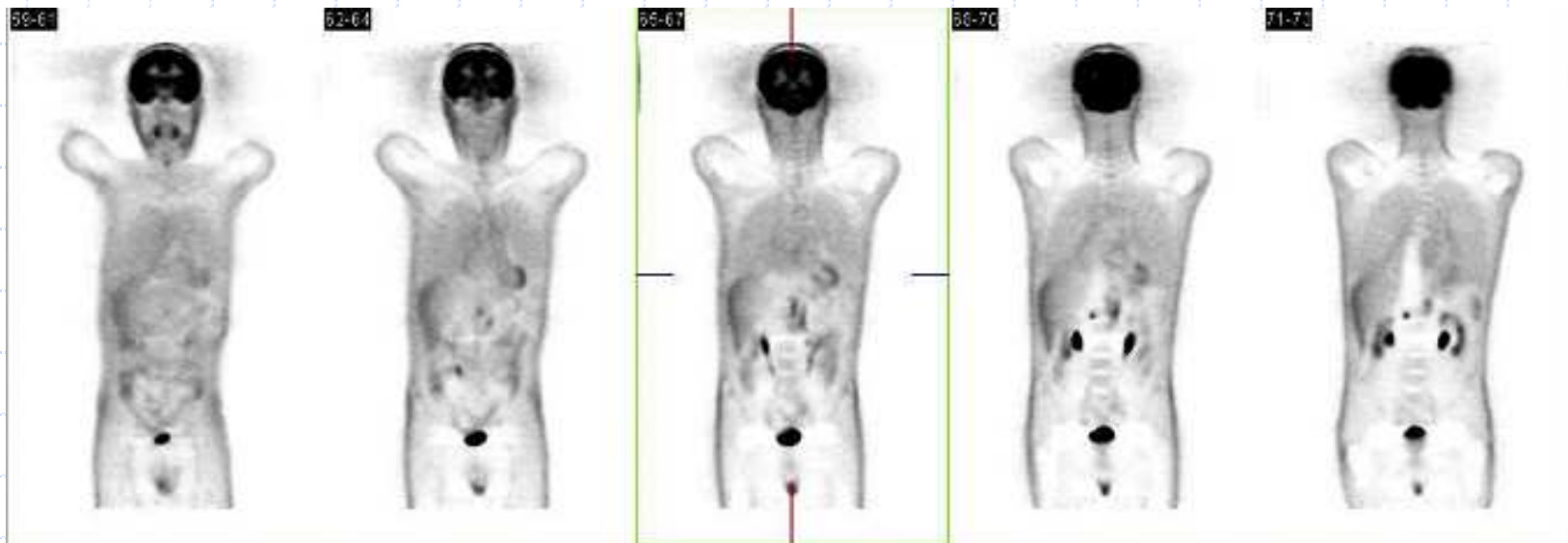
- ◆ Sous-estimation des activités «profondes»

$$\mu_{PE} \approx k \frac{Z^3}{E^3} \rho$$

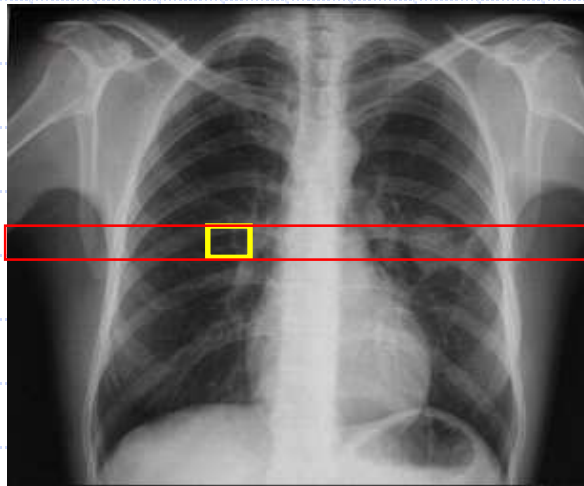
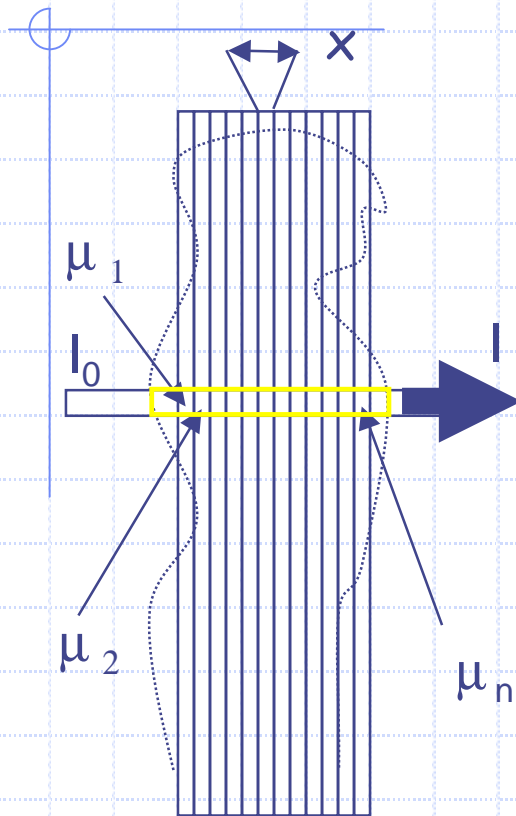
◆ Compton

- ◆ 20% (2D) à 50% (3D) des détections
- ◆ Médiocre résolution en énergie (15-20%)
- ◆ Activité du cerveau et de la vessie

$$\mu_C \approx k' \rho$$



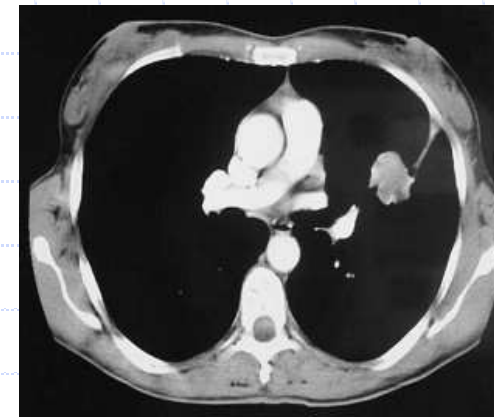
Tomographie de transmission



$$I = I_0 e^{-x \sum_i \mu_i}$$

$$p = -\frac{1}{x} \ln\left(\frac{I}{I_0}\right) = \sum_i \mu_i$$

$$\left. \begin{aligned} \mu_{PE} &\approx k \frac{Z^3}{E^3} \rho \\ \mu_C &\approx k' \rho \end{aligned} \right\}$$

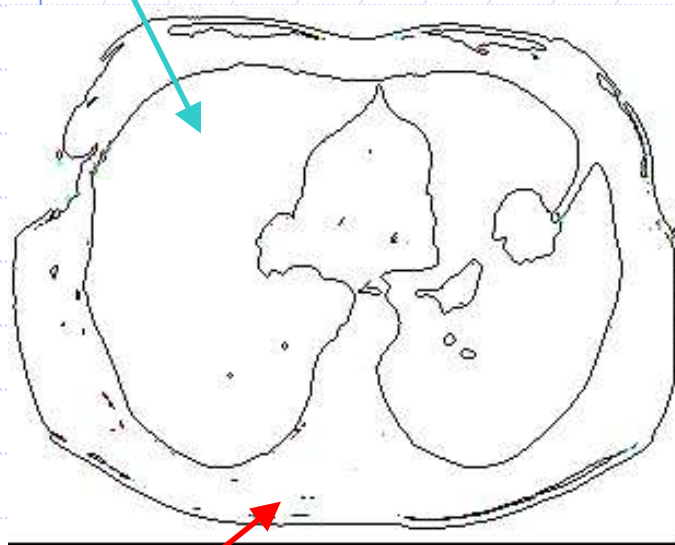




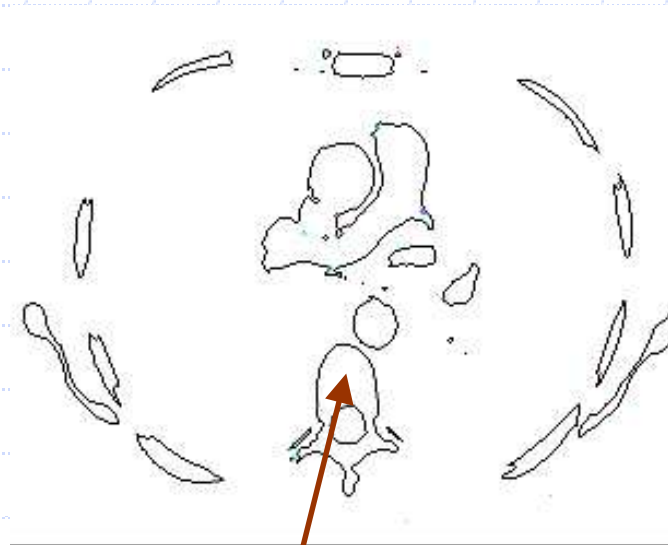
Correction des
artefacts
d'atténuation et
de diffusion

$\mu_{511}(\text{air})$

Segmentation



$\mu_{511}(\text{tissu mou})$

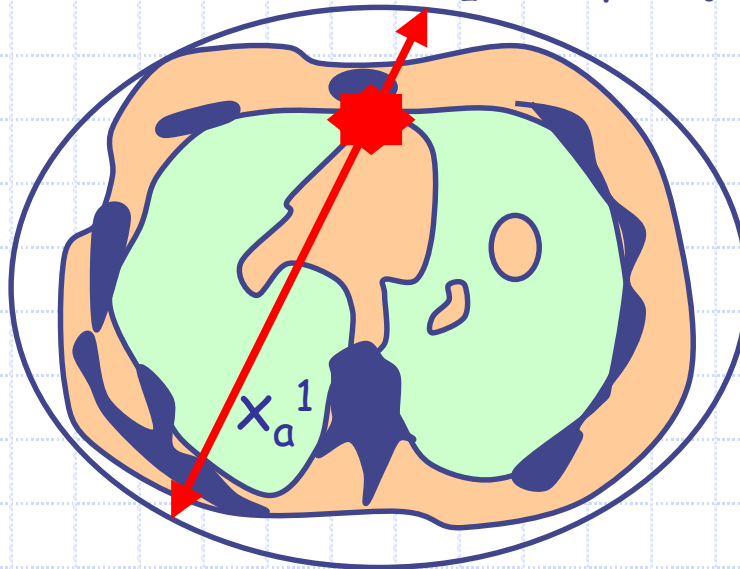


$\mu_{511}(\text{os})$

Corrections de l'atténuation P.E.



$$f_2 = \exp(-\mu_o x_o^2 - \mu_{tm} x_{tm}^2 - \mu_a x_a^2)$$



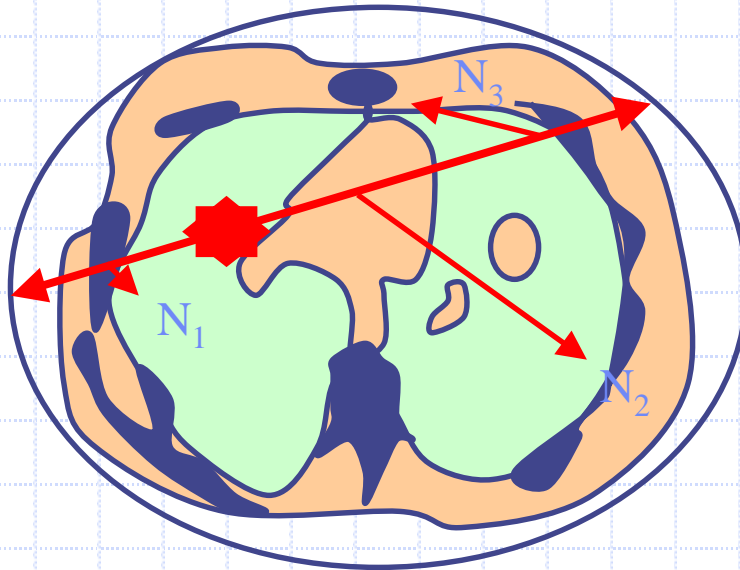
$$f_1 = \exp(-\mu_o x_o^1 - \mu_{tm} x_{tm}^1 - \mu_a x_a^1) = I_1 / I_o$$

↪ Simple division par une constante f sur chaque projection

$$f = f_1 \times f_2 = \exp(-\mu_o x_o - \mu_{tm} x_{tm} - \mu_a x_a)$$

Correction du diffusé Compton

Simulation (Monte-Carlo) à partir des μ_c à 511 keV



Row A - PET WB-uncorrected

Coronal

59-61

62-64

65-67

68-70

71-73



A

Row B - PET WB

59-61

62-64

65-67

68-70

71-73



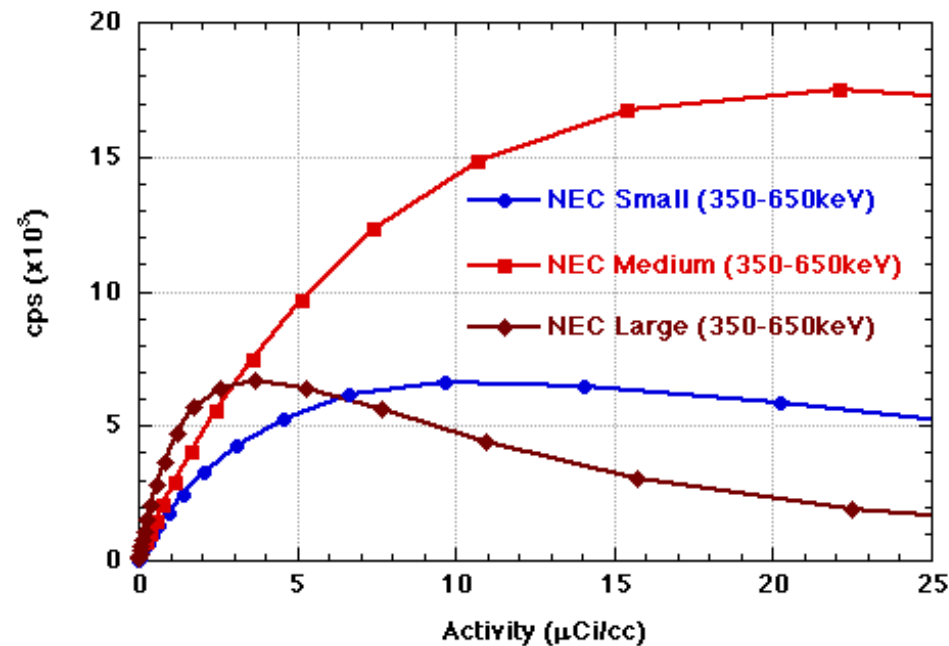
B



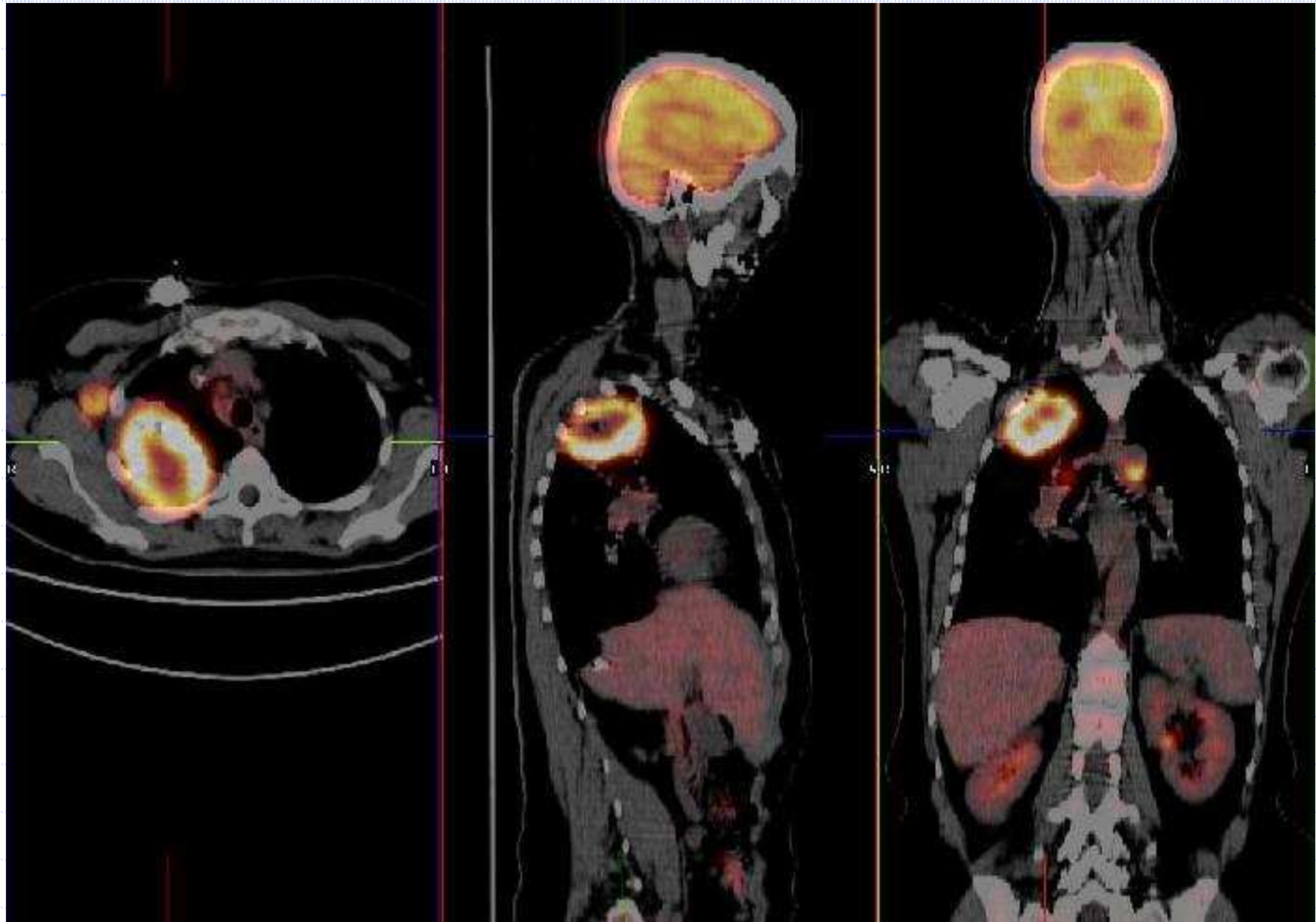
Qualité globale d'un TEP

$$\text{NECR} = \left(\frac{S}{B} \right)^2 = \frac{V^2}{V+D+k.F} = f \left(\frac{\mu\text{Ci}}{\text{mL}} \right)$$

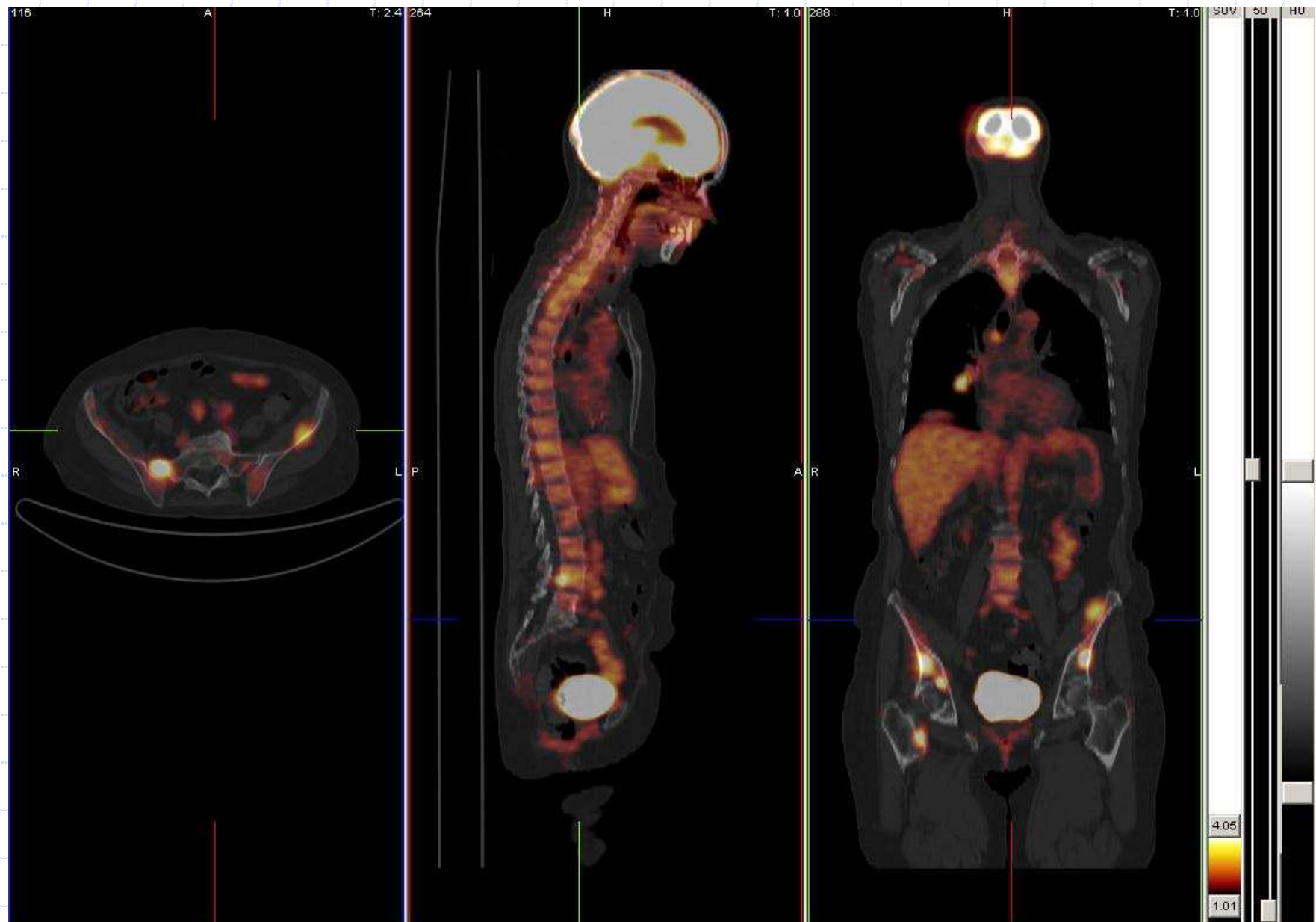
k=1 sauf si F sont mesurés (k=2)



Fusion TEP-CT

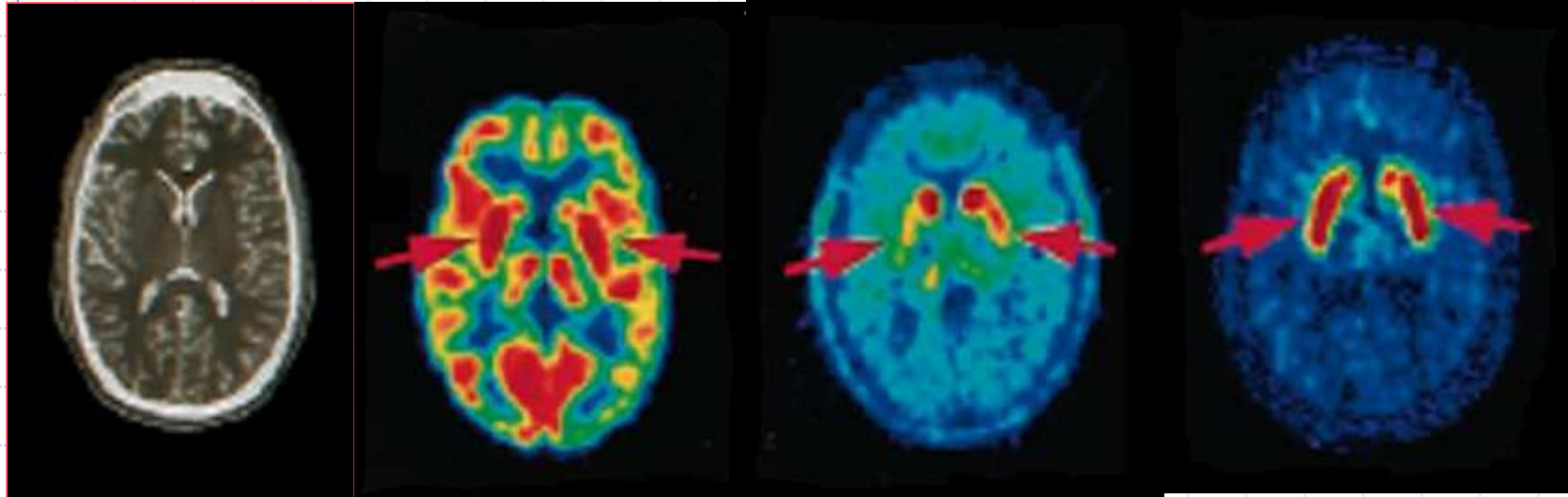


Fusion TEP-CT



« L'imagerie moléculaire »

Hémi Parkinson cliniquement gauche



IRM
 ^1H

Métabolisme
 ^{18}F FDG

^{18}F -DOPA, voie
Pré-synaptique

Perte
fonction
DaT
Putamen D

^{18}F -Ethyl
Spipérone, voie
Post-synaptique

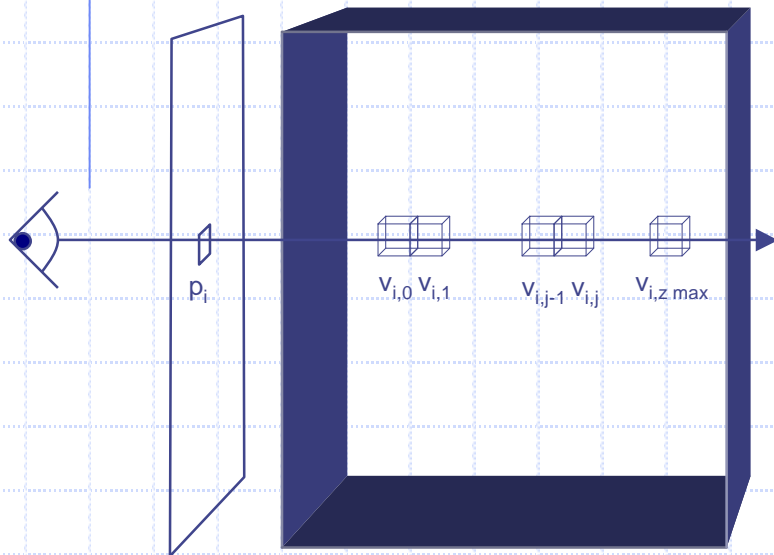
Pas
d'atteinte
RD2



VISUALISATION VOLUMIQUE

Rendu volumique

$$C_{\lambda}(p_i) = \sum_{j=1}^{z_{\max}} c_{\lambda}(v_{i,j}) \text{Contrib}(v_{i,j})$$

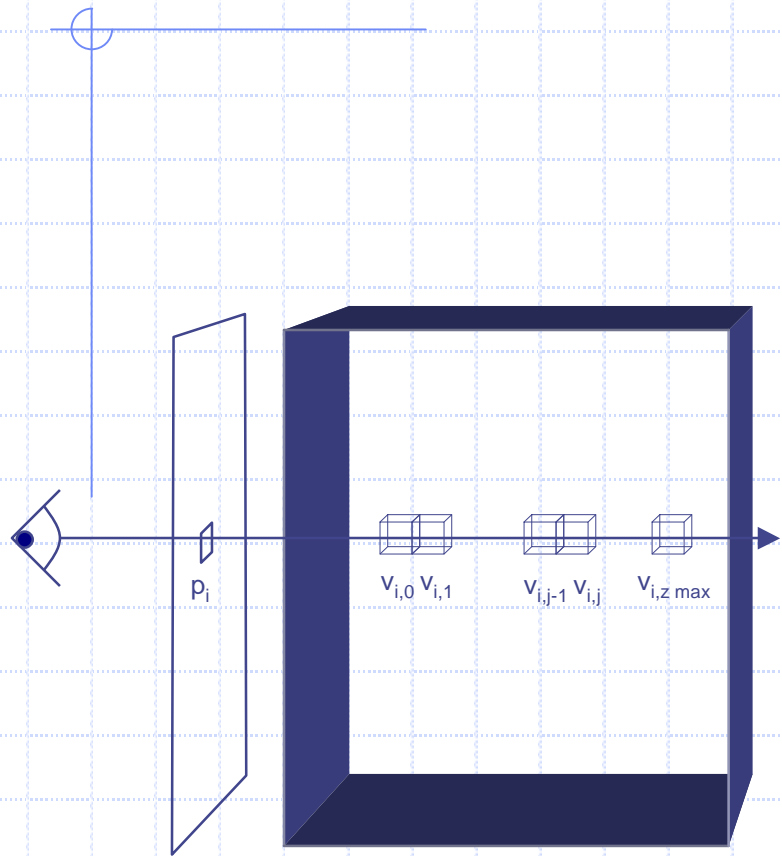


$$\text{Contrib}(v_{i,j}) = \alpha(v_{i,j}) P(k_a, k_d ; v_{i,j}) \prod_{k=0}^{j-1} (1 - \alpha(v_{i,k}))$$

$$\alpha(v_{i,j}) = s \left[\left\| \vec{\nabla} f(v_{i,j}) \right\| \right] \cdot k_a \cdot a[f(v_{i,j})]$$

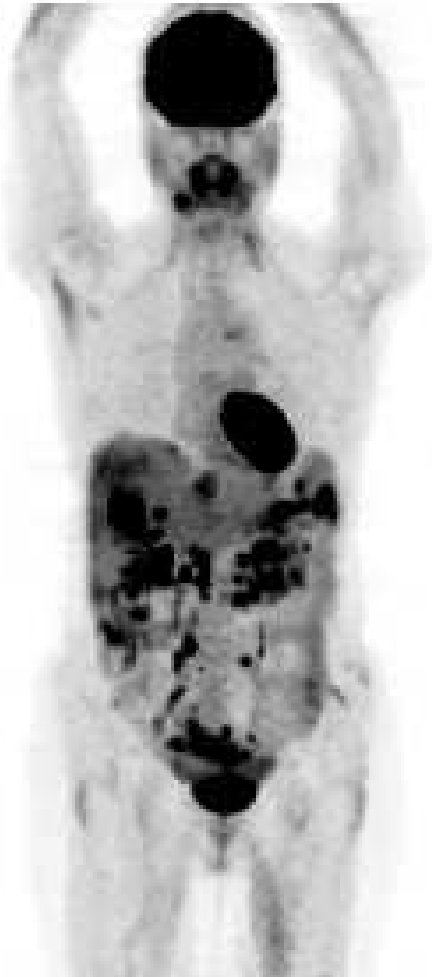
$$P(k_a, k_d ; v_{i,j}) = k_a + k_d \left\| \vec{\nabla}_n f(v_{i,j}) \cdot \vec{L} \right\|$$

Rendu volumique

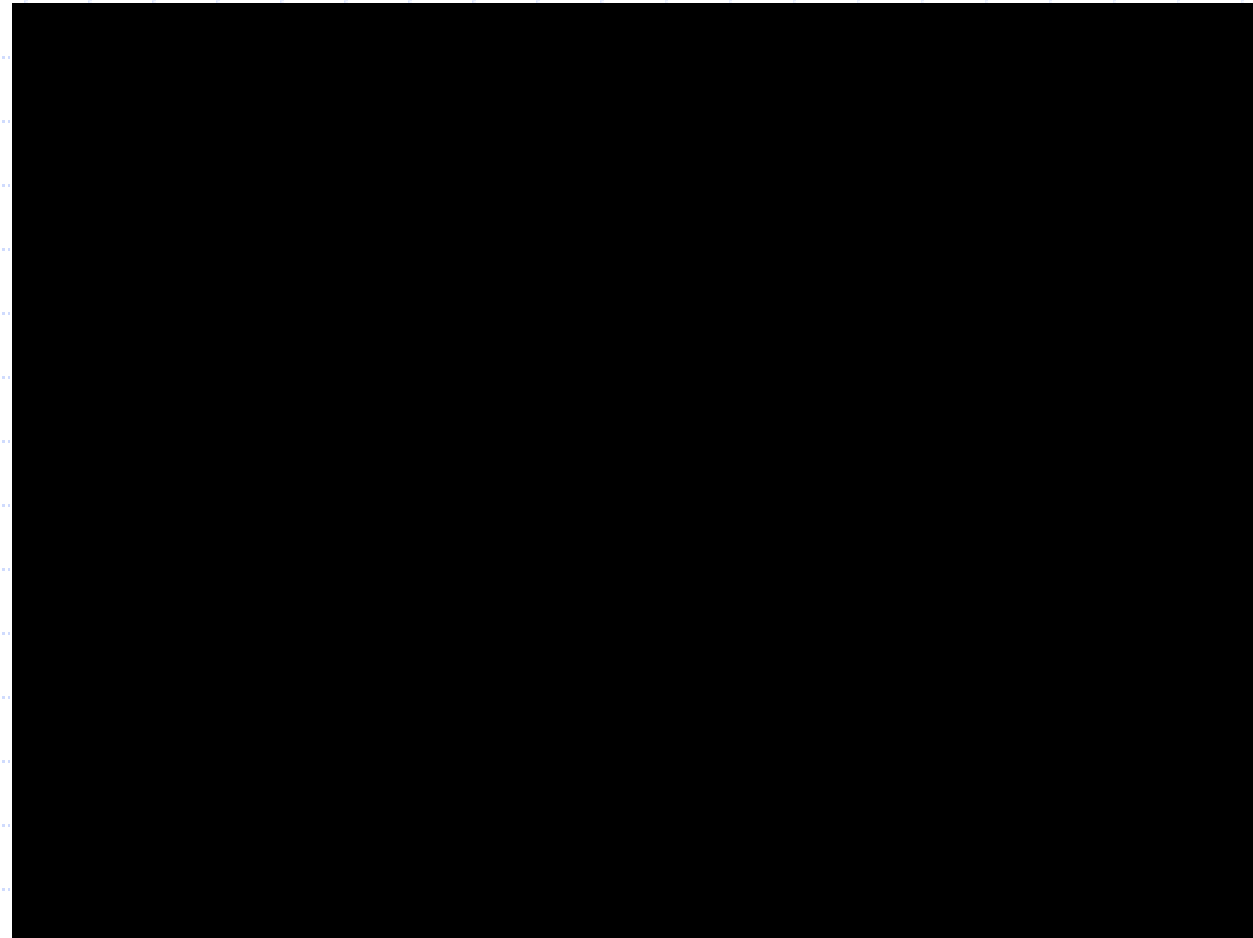


$$C_{\lambda}(p_i) = \sum_{j=1}^{z_{\max}} c_{\lambda}(v_{i,j}) \text{Contrib}(v_{i,j})$$

MLEM puis MIP



TEP (FORE)



TDM

Lymphome et Hodgkin



Myrian® 1.1.0 - 15:34

Mise en page des séries

Visualisation

Réglages image

Automatique (F4)

Album d'images / Compte-rendu

Boîte à outils

Annuler / Rétablir

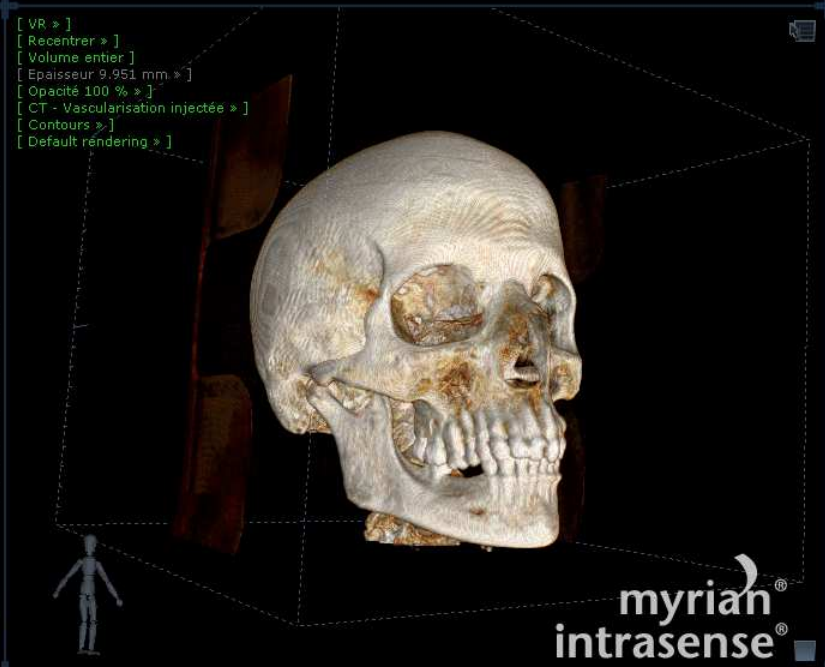
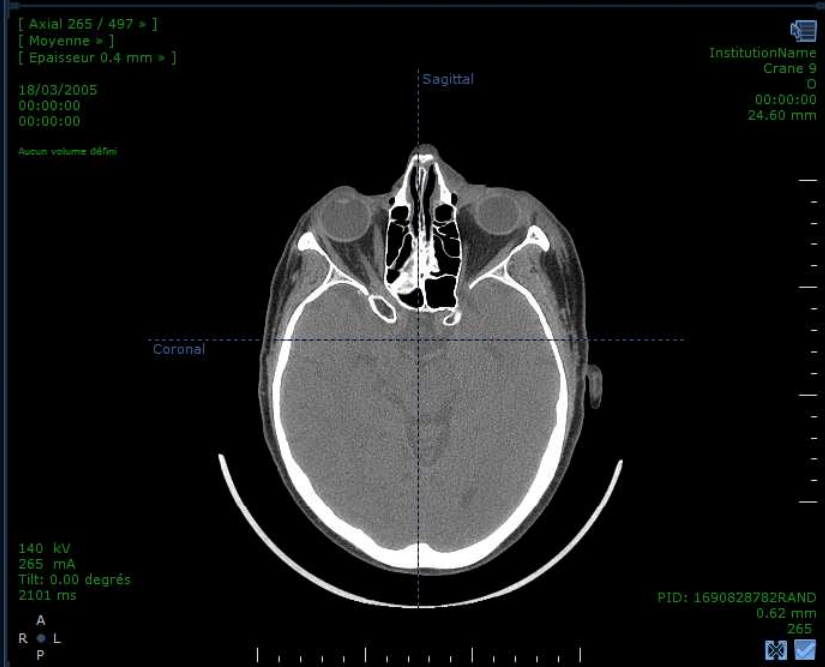
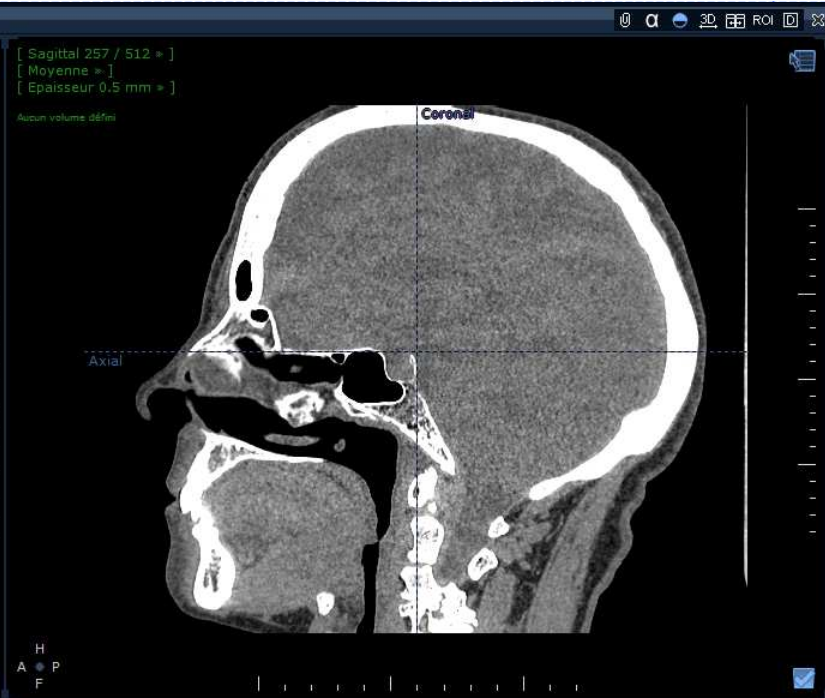
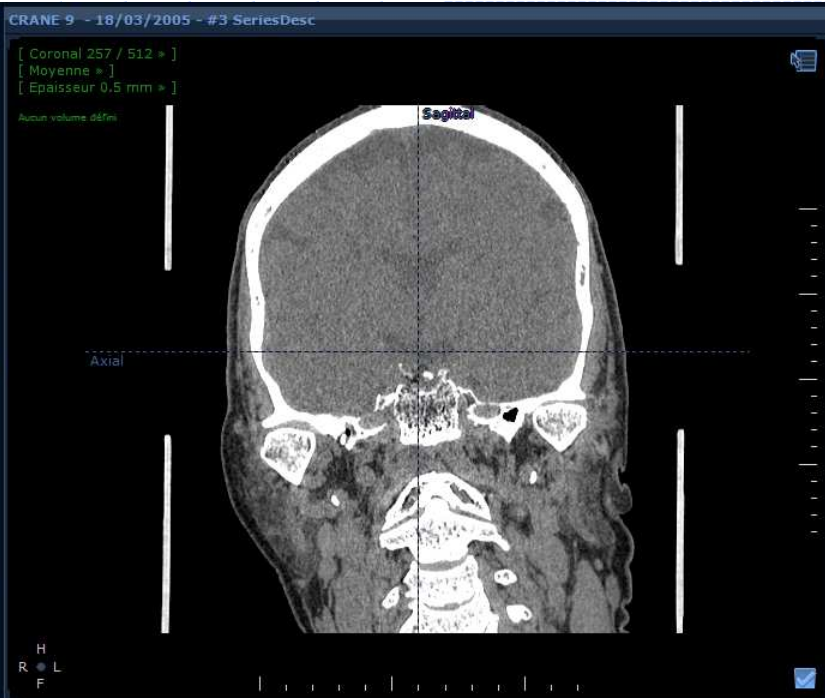
Reconnaissance Automatique

Orthopédie

Edition des régions d'intérêt

N°	ROI	Vol (cm³)
<<Transparent>>		
1	Non définie	
2	Non définie	
3	Non définie	
4	Non définie	
5	Non définie	

Assignation des boutons souris



Myrian® 1.1.0 - 15:35

Mise en page des séries

Visualisation

Réglages image

Automatique (F4)

Album d'images / Compte-rendu

Boîte à outils

Annuler / Rétablir

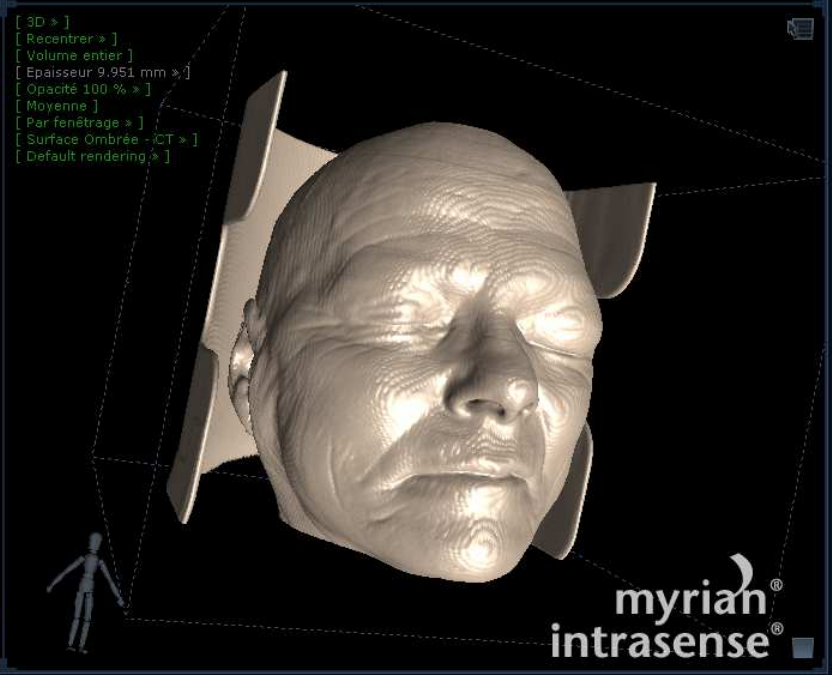
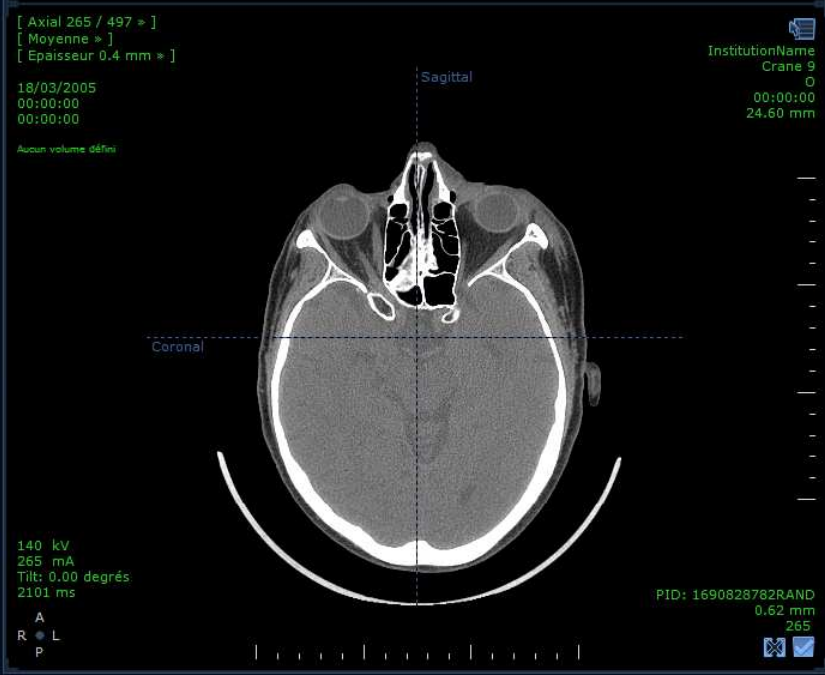
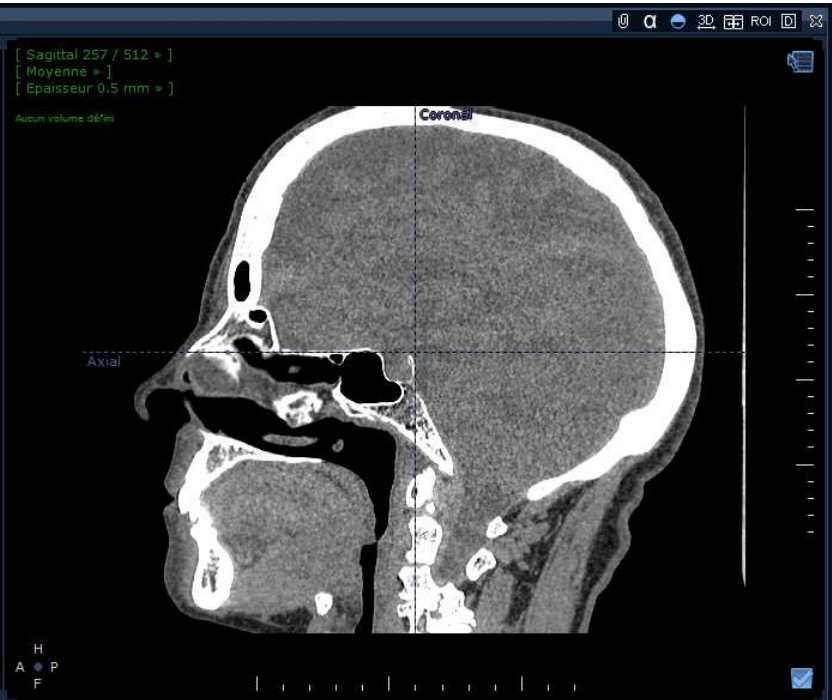
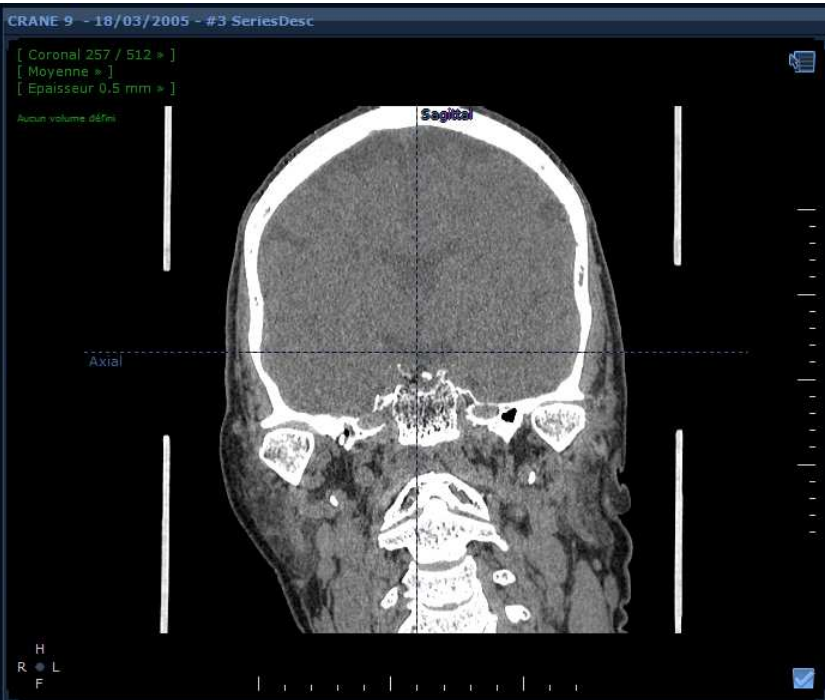
Reconnaissance Automatique

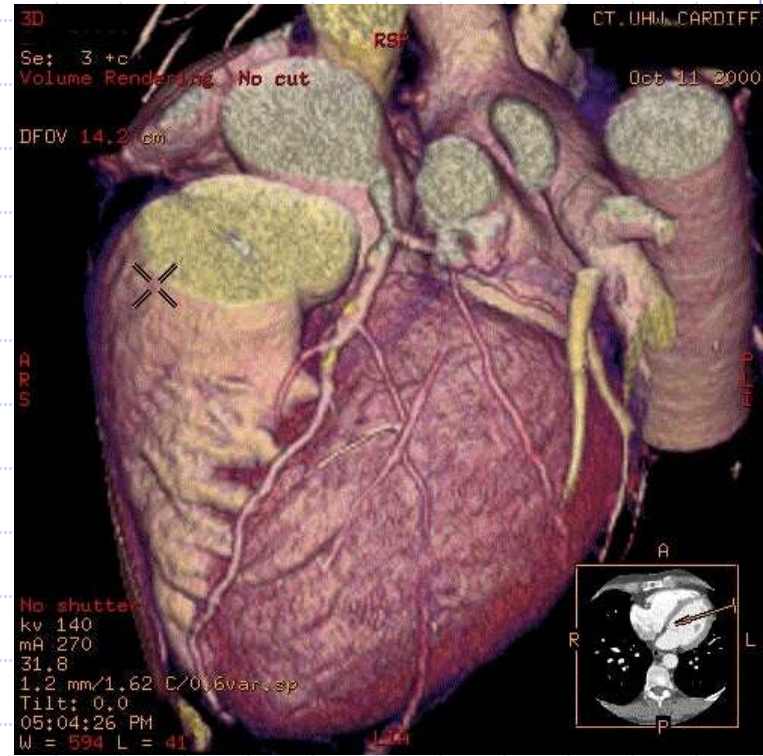
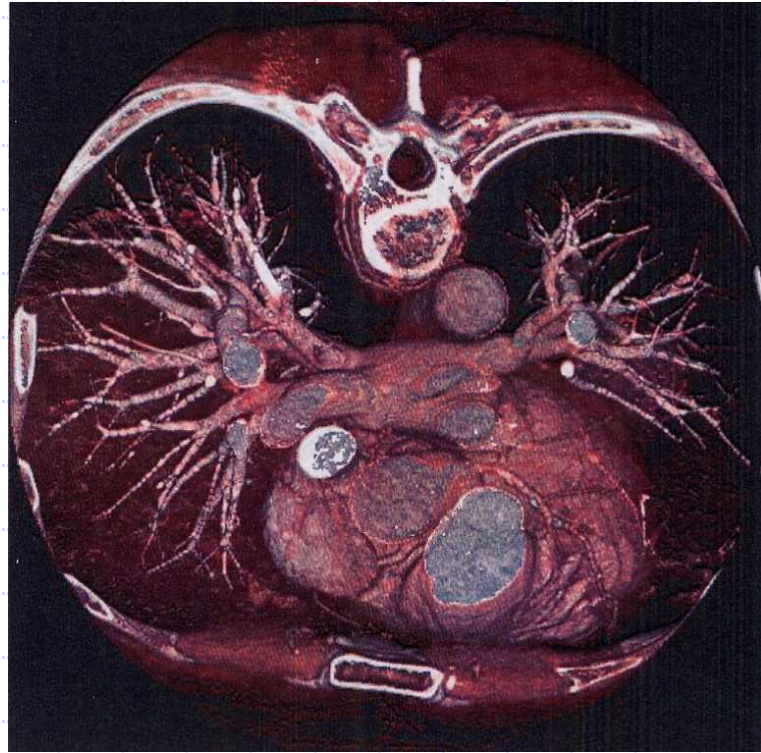
Orthopédie

Édition des régions d'intérêt

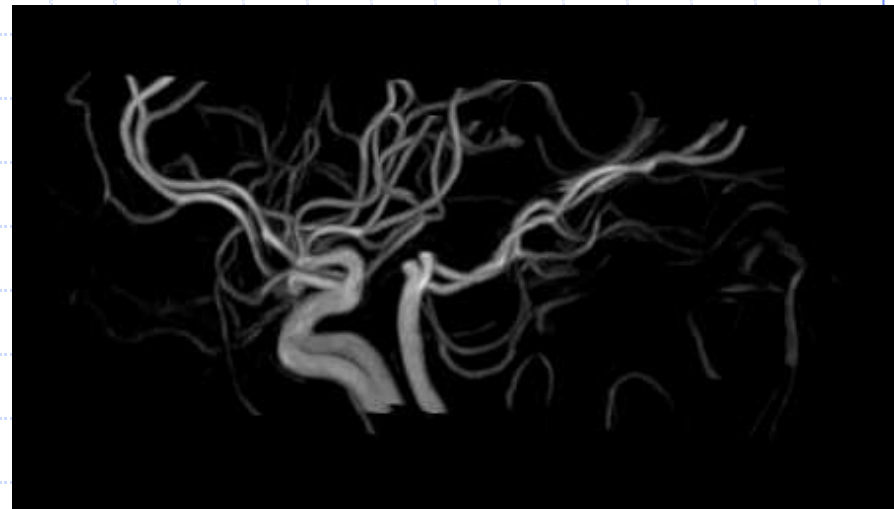
N°	ROI	Vol (cm³)
<Transparent>		
1	Non définie	
2	Non définie	
3	Non définie	
4	Non définie	
5	Non définie	

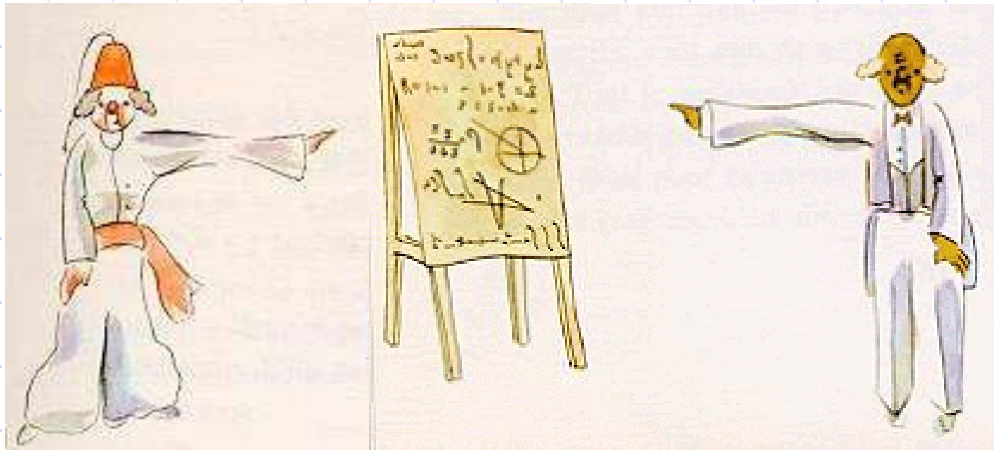
Assignation des boutons souris





MIP EN IRM





The Mathematics of
Computerized Tomography.
F. Natterer. 2001. SIAM.

Positron Emission Tomography.
Basic Sciences and Clinical Practice.
PE Valk, DL Bailey,
DW Townsend, MN Maisey.
2003. Springer.

Merci de votre attention...